

Zeitschrift:	Boissiera : mémoires de botanique systématique
Herausgeber:	Conservatoire et Jardin Botaniques de la Ville de Genève
Band:	21 (1972)
Artikel:	Revision der Sektionen Acanthophace Bunge und Aegacantha Bunge der Gattung Astragalus L.
Autor:	Deml, Irmgard
Anhang:	Zeichnungen und Karten
DOI:	https://doi.org/10.5169/seals-895608

Nutzungsbedingungen

Die ETH-Bibliothek ist die Anbieterin der digitalisierten Zeitschriften auf E-Periodica. Sie besitzt keine Urheberrechte an den Zeitschriften und ist nicht verantwortlich für deren Inhalte. Die Rechte liegen in der Regel bei den Herausgebern beziehungsweise den externen Rechteinhabern. Das Veröffentlichen von Bildern in Print- und Online-Publikationen sowie auf Social Media-Kanälen oder Webseiten ist nur mit vorheriger Genehmigung der Rechteinhaber erlaubt. [Mehr erfahren](#)

Conditions d'utilisation

L'ETH Library est le fournisseur des revues numérisées. Elle ne détient aucun droit d'auteur sur les revues et n'est pas responsable de leur contenu. En règle générale, les droits sont détenus par les éditeurs ou les détenteurs de droits externes. La reproduction d'images dans des publications imprimées ou en ligne ainsi que sur des canaux de médias sociaux ou des sites web n'est autorisée qu'avec l'accord préalable des détenteurs des droits. [En savoir plus](#)

Terms of use

The ETH Library is the provider of the digitised journals. It does not own any copyrights to the journals and is not responsible for their content. The rights usually lie with the publishers or the external rights holders. Publishing images in print and online publications, as well as on social media channels or websites, is only permitted with the prior consent of the rights holders. [Find out more](#)

Download PDF: 11.08.2025

ETH-Bibliothek Zürich, E-Periodica, <https://www.e-periodica.ch>

VII. ZEICHNUNGEN UND KARTEN

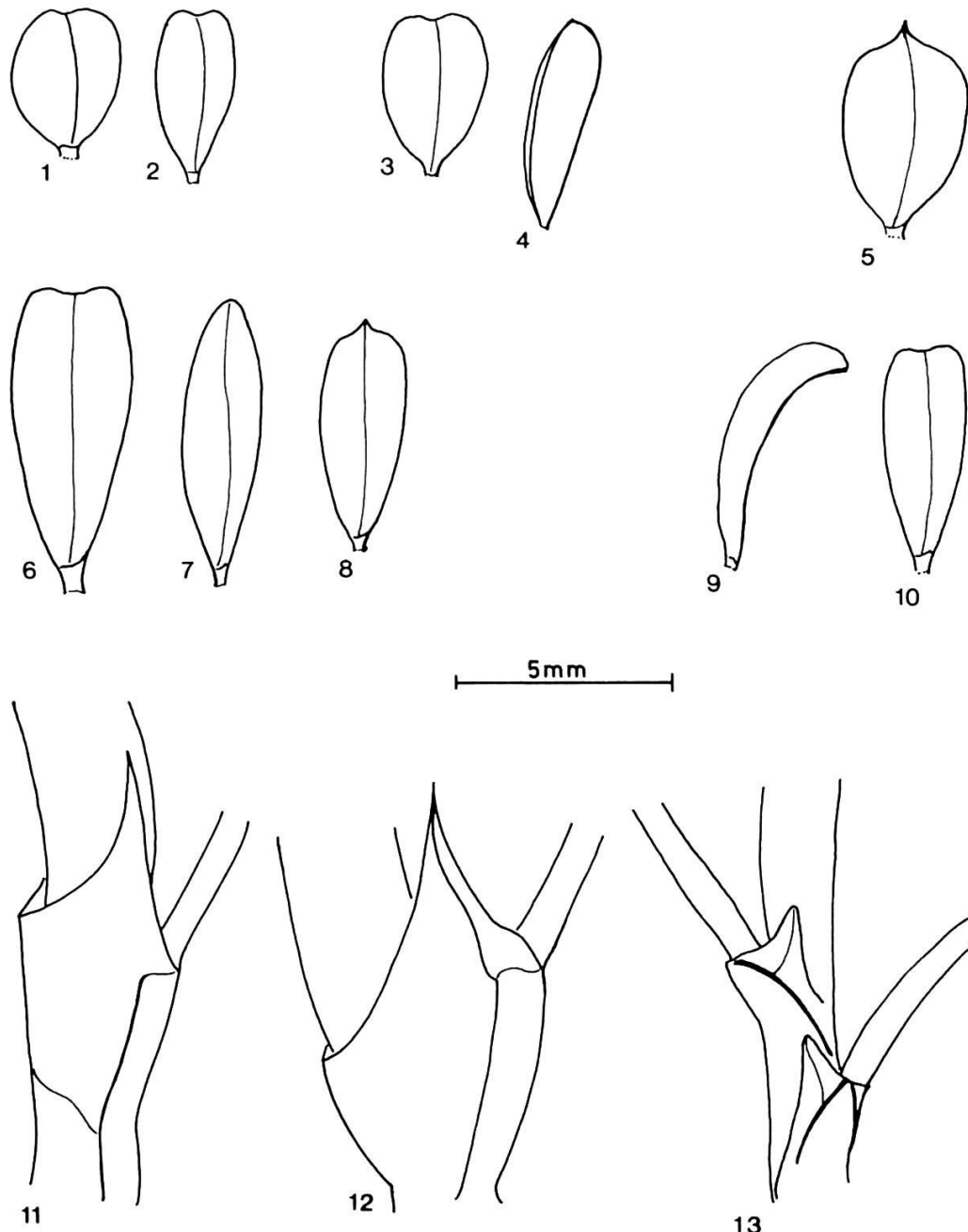


Fig. 1-10. — Blättchenformen

1-2, *A. hemsleyi* (Repp s.n.); 3-4, *A. schistocalyx* (Schmid 6259); 5, *A. ovigerus* (Field 13197);
6-8, *A. stenostegius* (Strauss s.n.); 9-10, *A. horridus* (9, Koelz 18301; 10, Aucher-Eloy 1280).

Fig. 11-13. — Nebenblattformen

11-12, *A. horridus* (Kotschy 474); 13, *A. schistocalyx* (Aitch. 666).

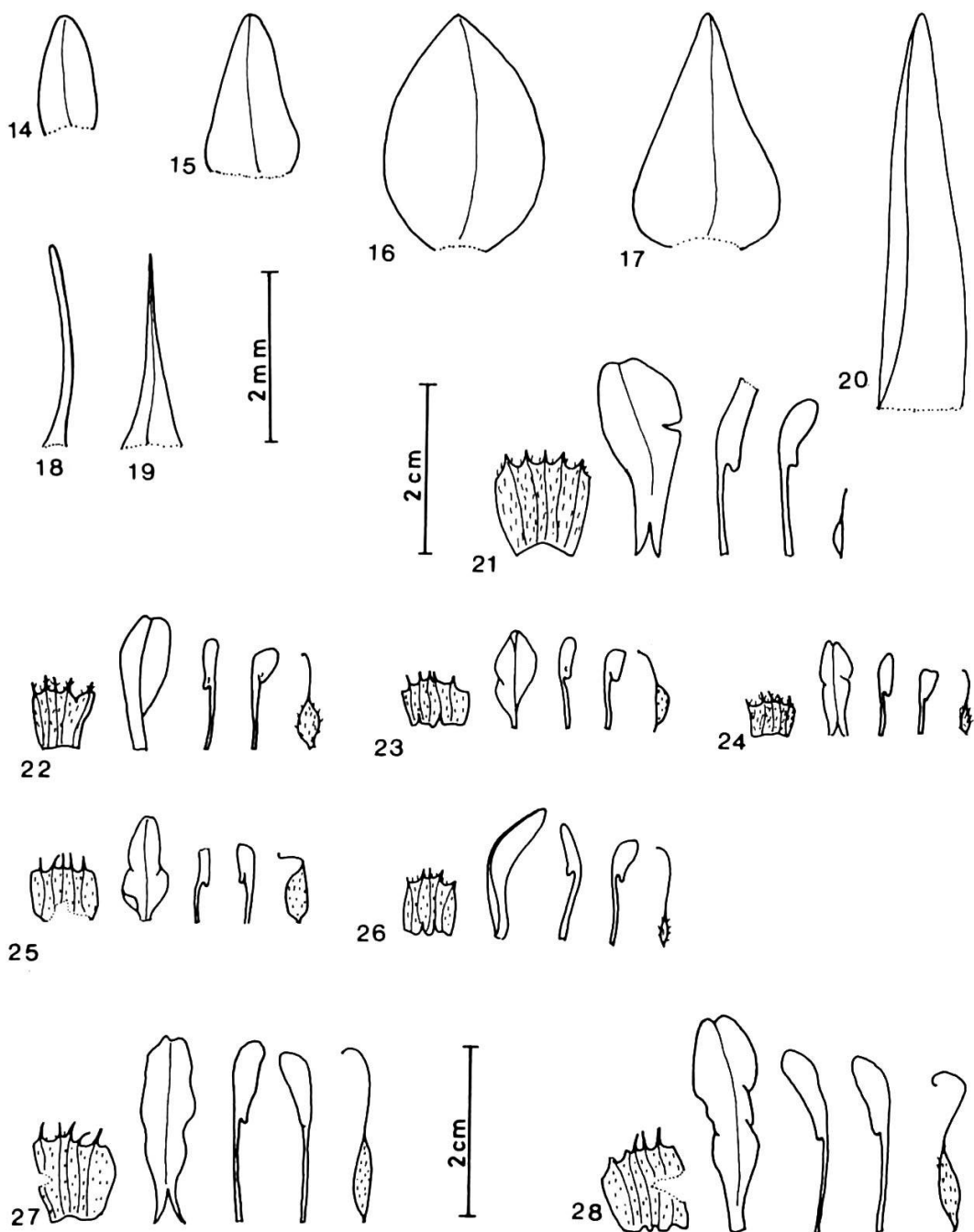


Fig. 14-20. — Brakteenformen

14, *A. schistocalyx* (Bornm. 3718); 15, *A. lycioides* (Alexeenko 758); 16-17, *A. horridus* (Kotschy 474); 18-19, *A. stenostegius* (Strauss s.n.); 20, *A. ovigerus* (Field 13197).

Fig. 21-28. — Blütenanalysen

21, *A. ovigerus* (Field 13197); 22-23, *A. horridus* (22, Aucher-Eloy 1280; 23, Kotschy 474); 24, *A. stenostegius* (Strauss, s.n.); 25, *A. hemsleyi* (Lace s.n.); 26, *A. lycioides* (Bode s.n.); 27-28, *A. schistocalyx* (27, Bunge, inter Nischapur et Mesched; 28, Schmid 6260).

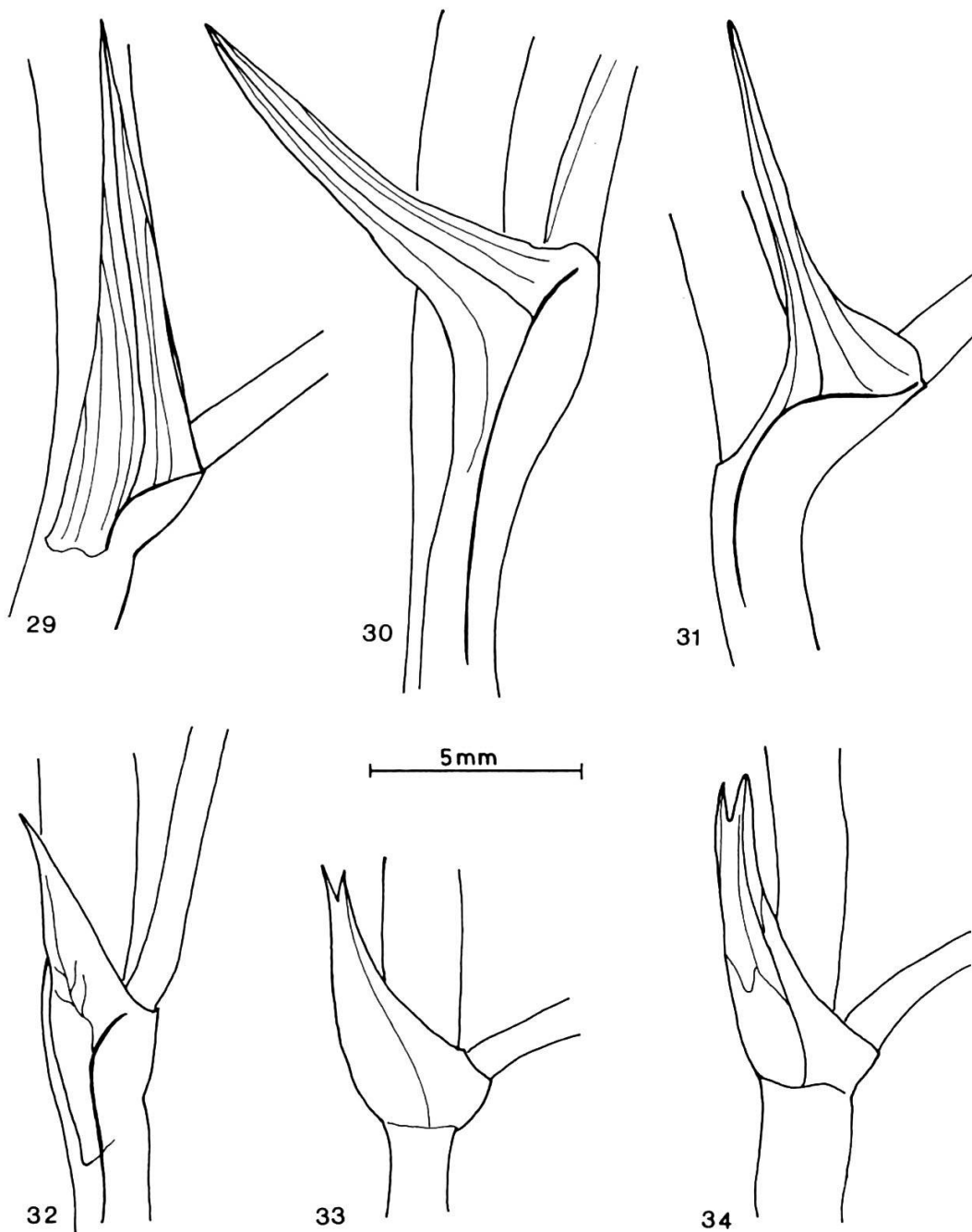


Fig. 29-34. — Nebenblattformen

29-30, *A. zanskarensis* (29, Thomson, Zanskar; 30, Thomson, Tibet); 31, *A. bicuspis* (Winterbottom 686); 32, *A. grahamianus* (Lobbichler 27); 33-34, *A. psilocentros* (Rech. 27376).

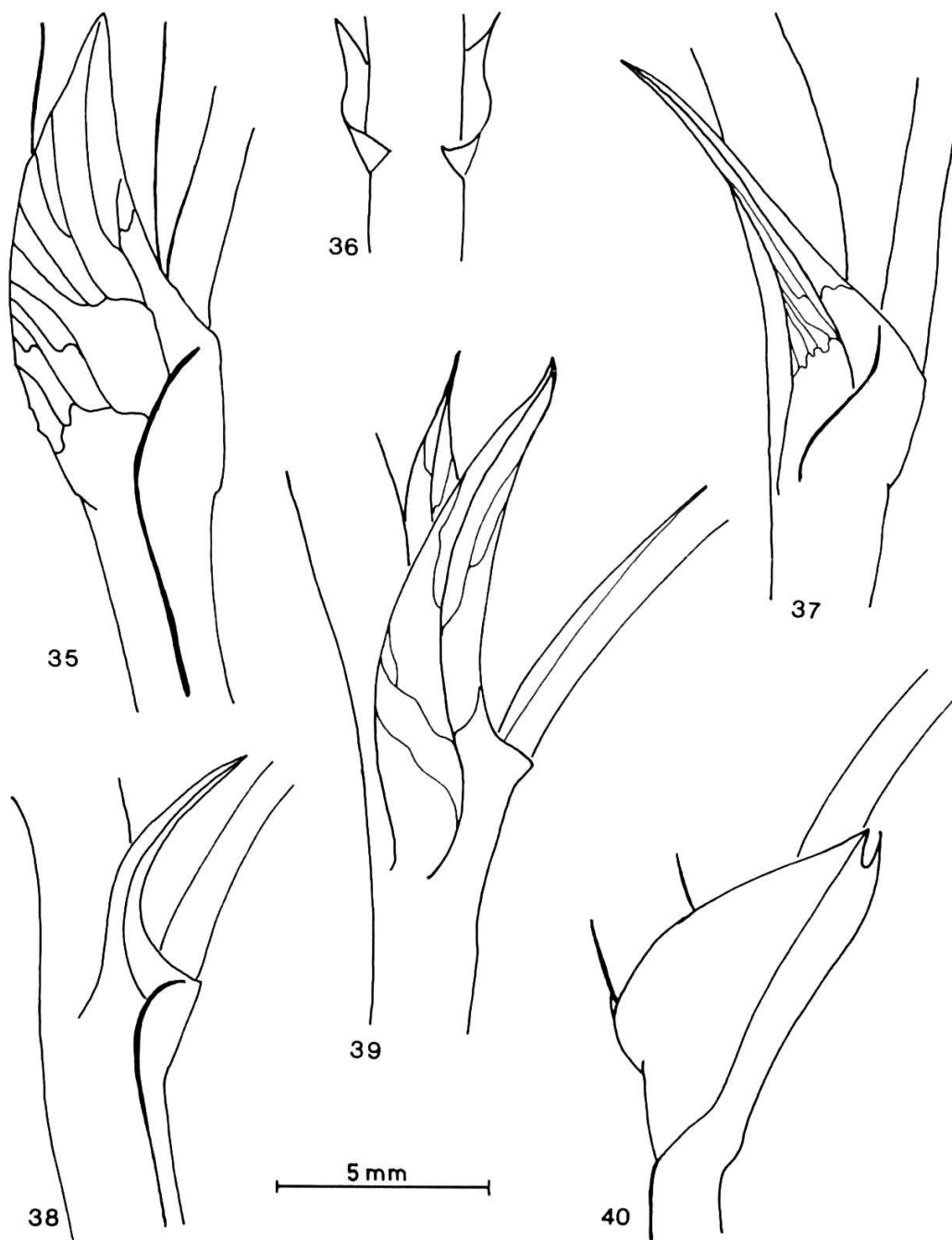


Fig. 35-40. — Nebenblattformen

35-36, *A. confertissimus* (35, Podlech 16321; 36, Breckle A 3079); 37-38, *A. lasiosemius* (37, Rech. 31415; 38, Rech. 18270); 39, *A. altimurensis* (Freitag 3232); 40, *A. bornmuelleranus* (Varivtzewa s.n.).

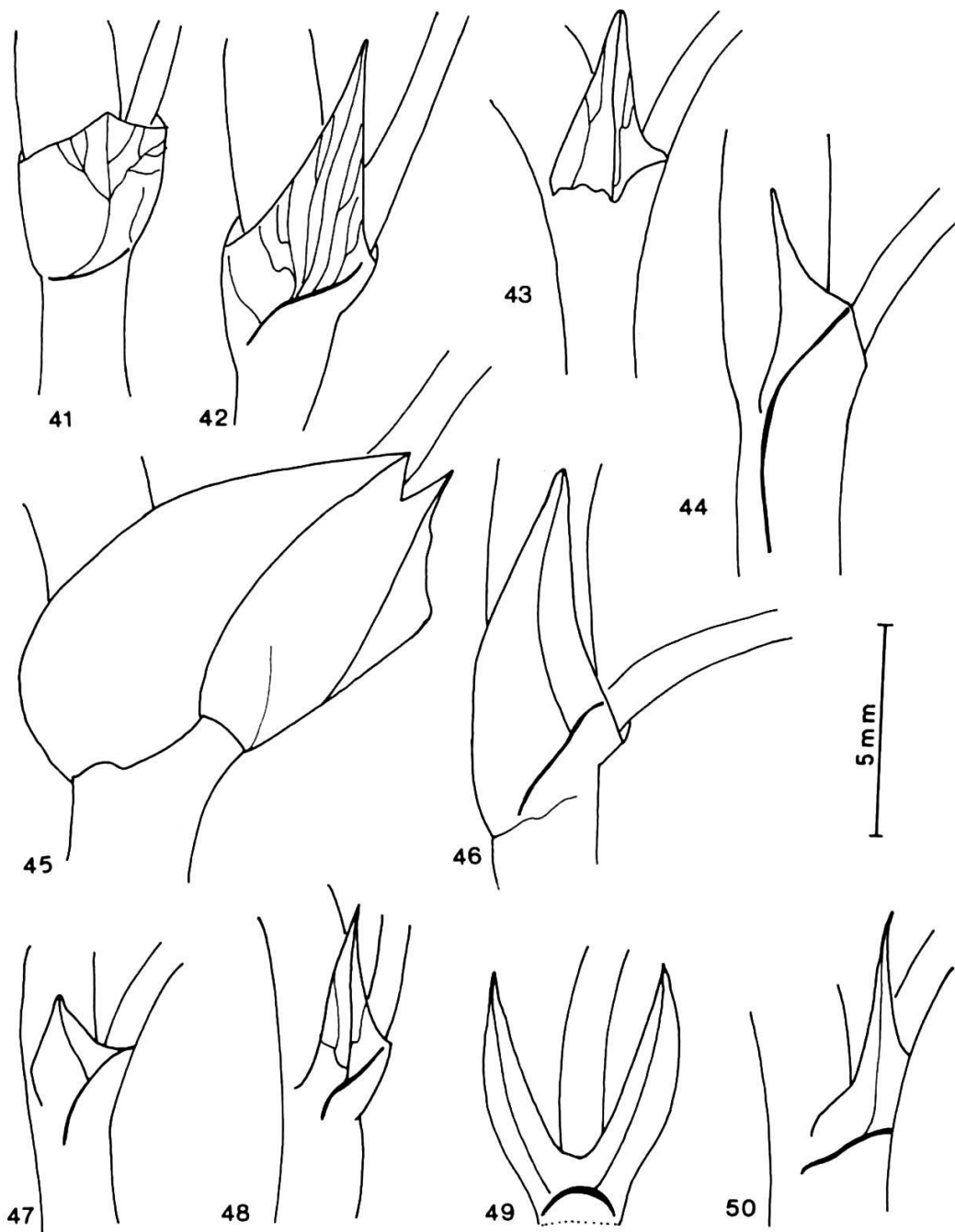


Fig. 41-50. — Nebenblattformen

41-43, *A. infestus* (Rech. 37288 b); 44, *A. parwanicus* (Rech. 31366); 45-46, *A. nigrivestitus* (45, Podlech 11126; 46, Podlech 12501); 47-48, *A. psilacanthus* (47, Rech. 31848; 48, Rech. 29895); 49-50, *A. leptus* (Rech. 17336).

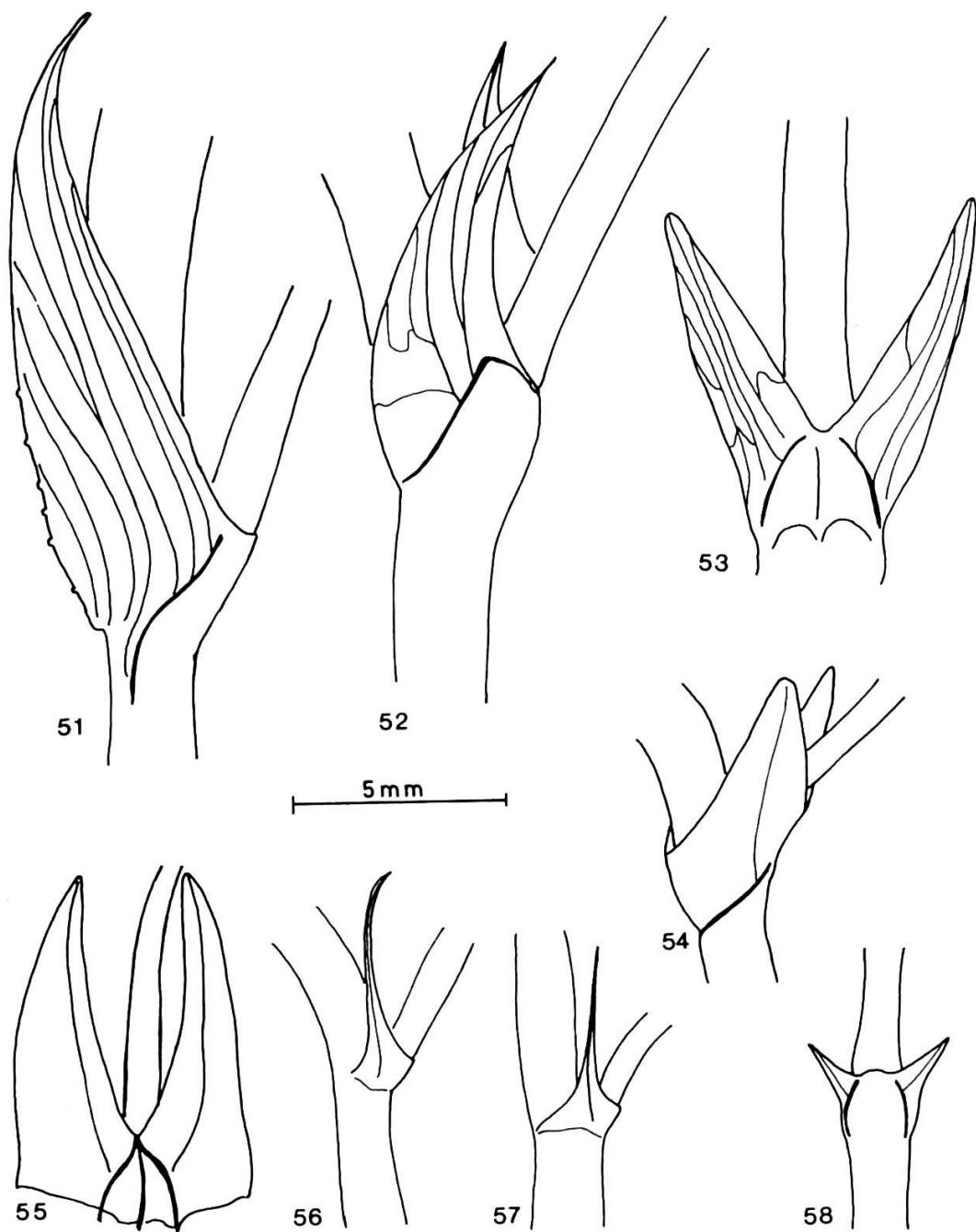


Fig. 51-58. — Nebenblattformen

51-52, *A. pseudopsilacanthus* (51, Rech. 35622; 52, Aitchison 47, 241); 53, *A. strigosostipulatus* (Freitag 2992); 54, *A. molestus* (Podlech 10791); 55, *A. hostilis* (Rech. 29336); 56-57, *A. brecklei* (Podlech 18387); 58, *A. ajfreidii* (Rech. 31805).

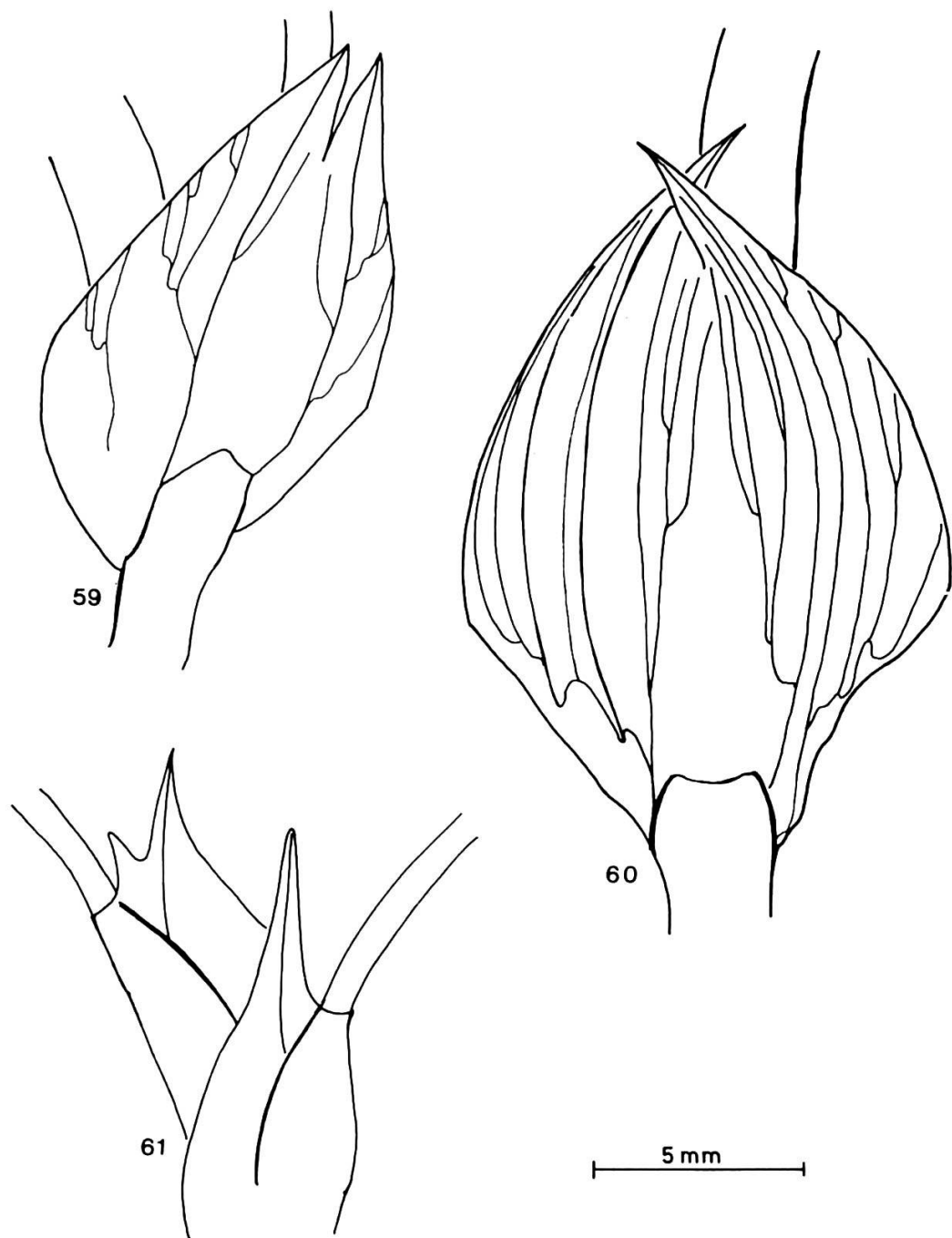


Fig. 59-61. — Nebenblattformen
59, *A. melanochiton* (Breckle 584); 60, *A. podlechii* (Rech. 37531); 61, *A. aegacanthoides* (Lobbichler s.n.).

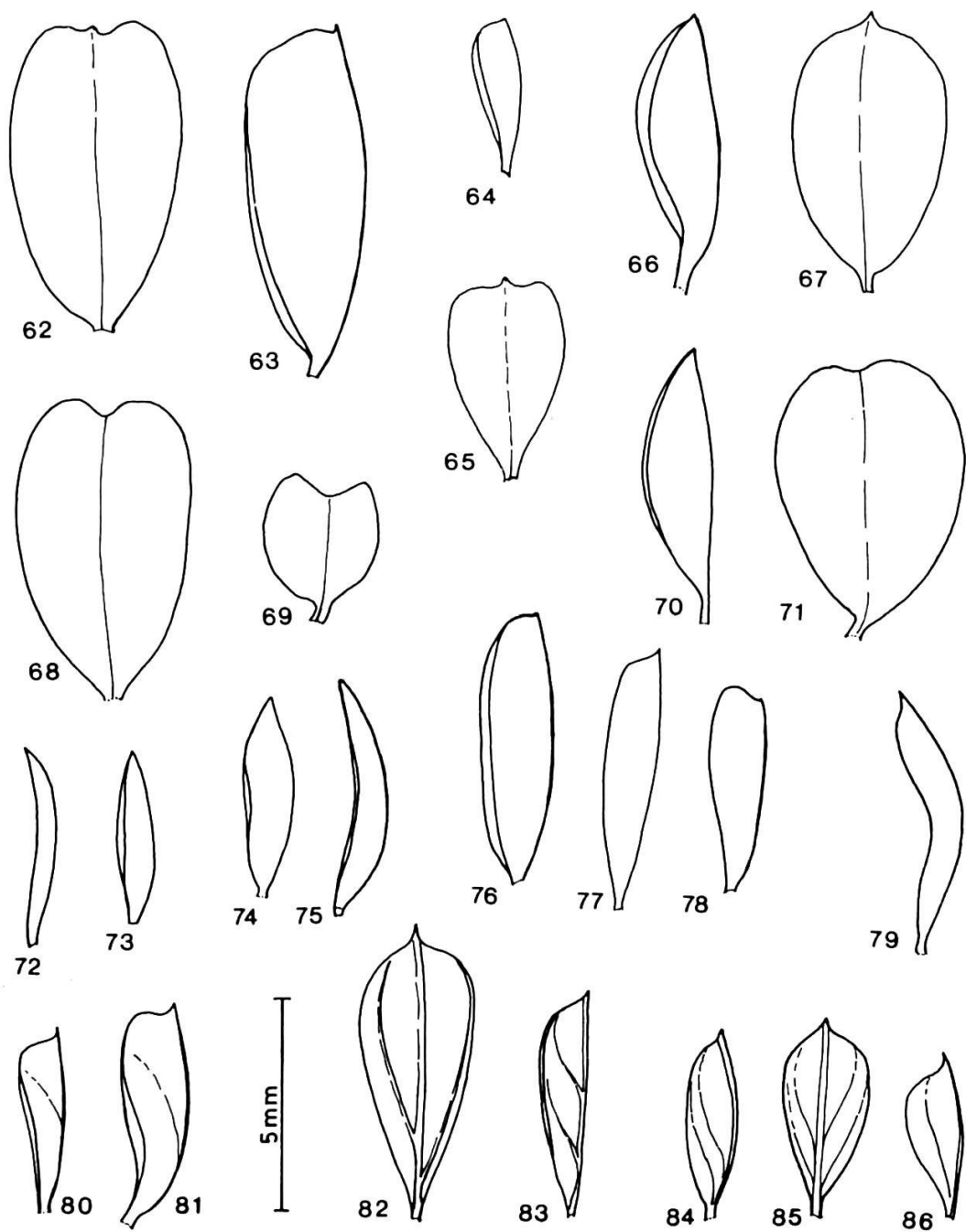


Fig. 62-86. — Blättchenformen

62-63, *A. zanskarensis* (Thomson s.n., Zanskar); 64-65, *A. polyacanthus* (Royle s.n.); 66-67, *A. bicuspis* (66, Drummond 23474; 67, Drummond 23473); 68-69, *A. grahamianus* (68, Lobbichler 27; 69, Thomson s.n., sub nomine *A. multiceps* Wall.); 70-71, *A. psilocentros* (70, Fleming 43; 71, Rech. 27376); 72-73, *A. antoninae* (Ovcinnikov & Aphanassjev 1330); 74-75, *A. aloisii* (Podlech 16443); 76-78, *A. confertissimus* (76, Podlech 13621; 77, Bowes Lyon 837; 78, Gilli 1564); 79, *A. parkeri* (Rech. 30844); 80-81, *A. gregarius* (Podlech 12336); 82-83, *A. pseudopsilacanthus* (82, Rech. 35622; 83, Aitch. 47, 241); 84-86, *A. discernendus* (Aitch. 451, 485).

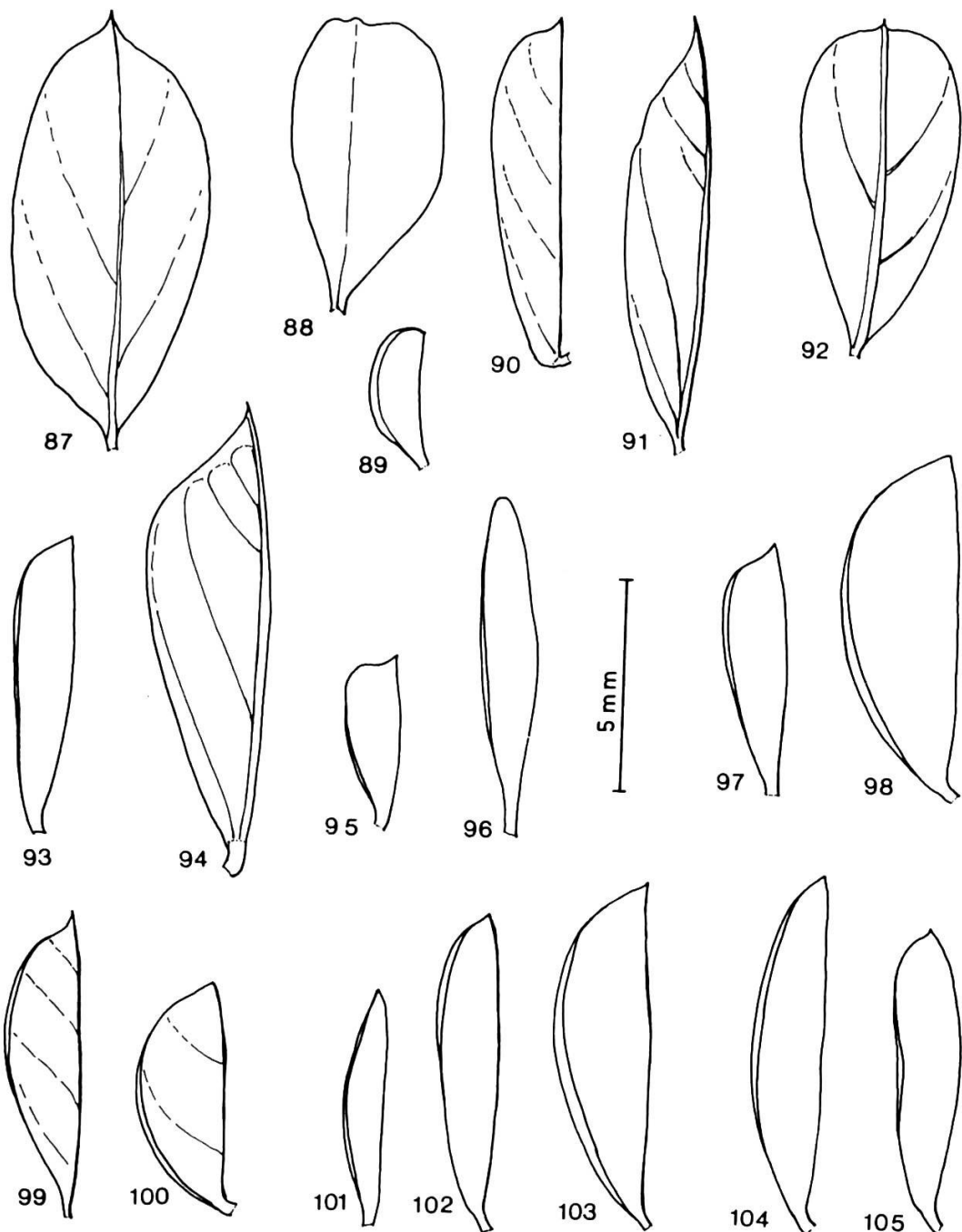


Fig. 87-105. — Blättchenformen

87, *A. endyanthus* (Rechinger 36947); 88-91, *A. lasiosemius* (88, Rech. 18270; 89, Lamond 2218; 90, Roemer 52; 91, Rech. 31415); 92, *A. roschanicus* (Ladigina 4042); 93, *A. phalacrophyton* (Podlech 15932); 94, *A. raphiodontus* (Rech. 17598); 95, *A. bornmuelleranus* (Varivtzeva s.n.); 96, *A. freitagii* (Freitag 3587); 97, *A. antheliophorus* (Rech. 37288 a); 98, *A. caroli-henrici* (Rech. 18890); 99-100, *A. infestus* (99, Rech. 37105; 100, Rech. 17719); 101-103, *A. franziskae* (101, Freitag 1400; 102-103, Rech. 17335); 104-105, *A. altimurensis* (Rech. 31888).

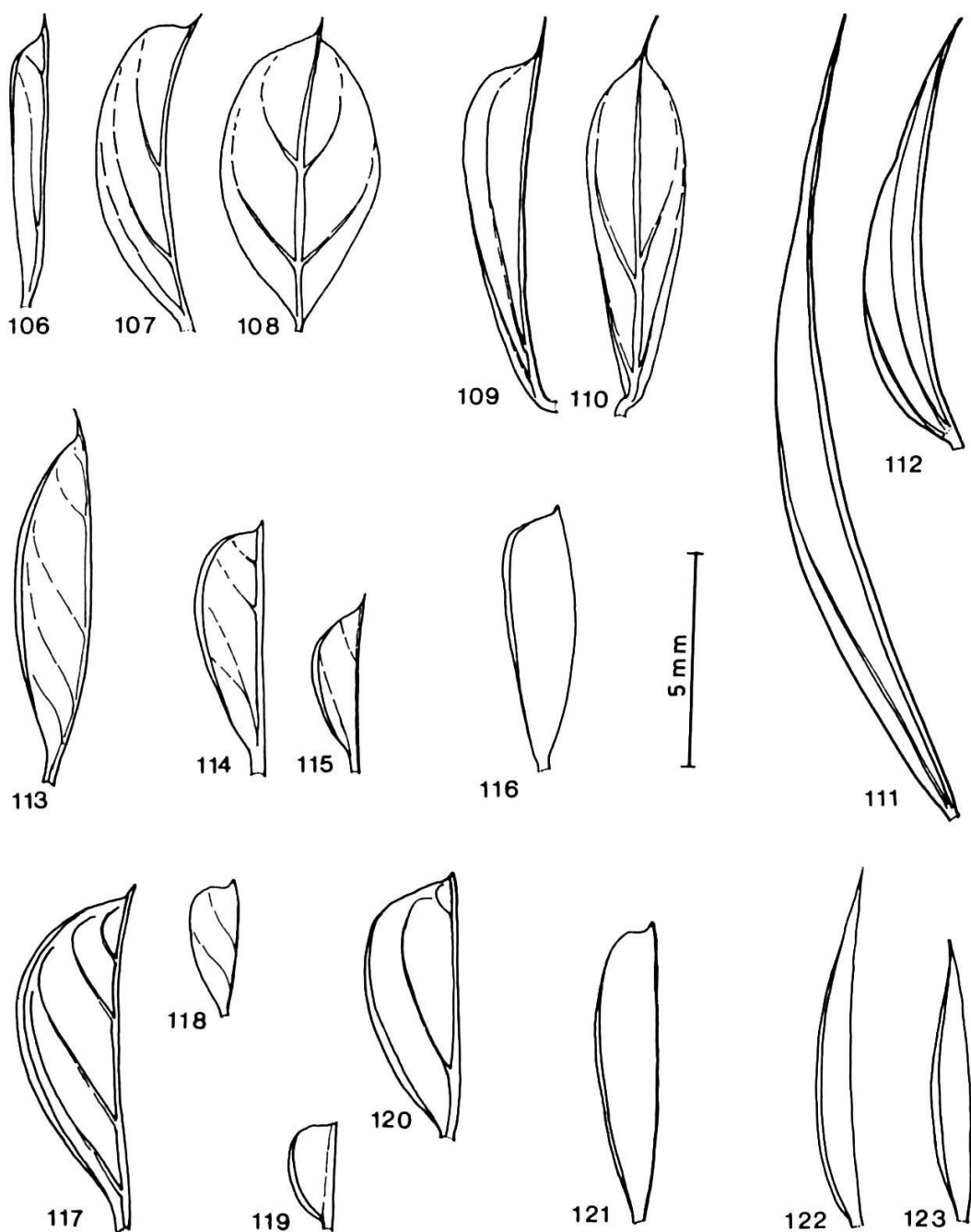


Fig. 106-123. — Blättchenformen

106-108, *A. nigrivestitus* (106, Podlech 12336; 107-108, Podlech 11126); 109-110, *A. melanochiton* (Breckle A 542); 111-112, *A. podlechii* (111, Breckle A 2207; 112, Breckle A 2696); 113, *A. parwanicus* (Rech. 31336); 114-115, *A. molestus* (Gilli 1549); 116, *A. nigrocalyx* (Pojarkova 552/306); 117, *A. strigosostipulatus* (Freitag 2993); 118, *A. hadroacanthus* (Gilli 1560); 119, *A. stenopterus* (Koelz 14096); 120, *A. leiosemius* (Hedge & Wendelbo 4225); 121, cf. *A. rubescens* (Varivtzewa & Renulova s.n.); 122-123, *A. ajfreidii* (122, Koelz 12001; 123, Freitag 1572).

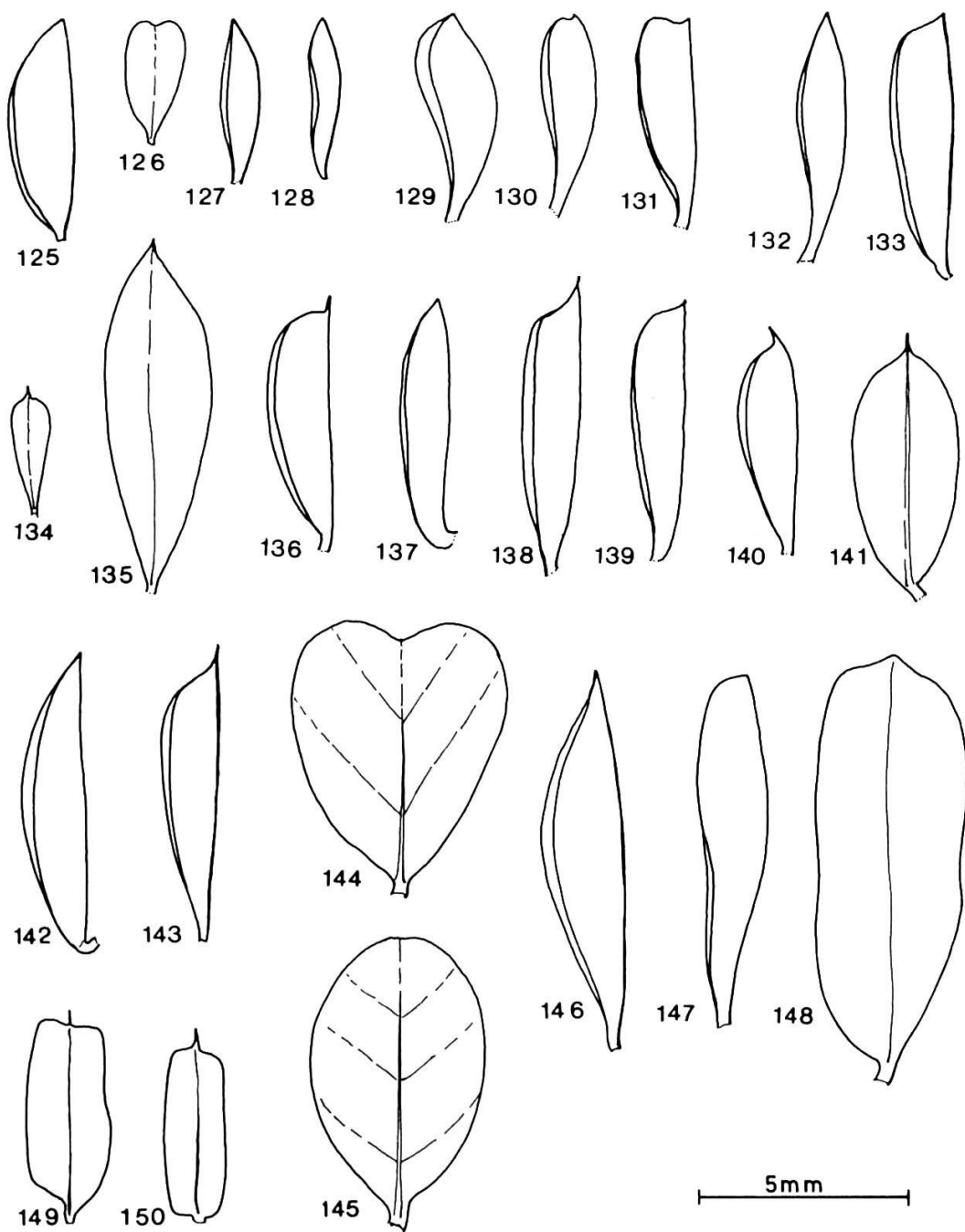


Fig. 125-150. — Blättchenformen

125-128, *A. psilacanthus* (125-126, Podlech 10187); 127-128, Rech. 31848). 129-131, *A. baghlanensis* (129-130, Podl. 11021; 131, Podl. 10986); 132-133, *A. hostilis* (132, Lace s.n.; 133, Rech. 29345); 134-141, *A. leptus* (134, Breckle A 102; 135, Podl. 10210; 137-139, Podl. 10910; 140-141, Rech. 17336); 142, *A. sharestanicus* (Rech. 36742); 143, *A. brecklei* (Podl. 16387); 144-145, *A. lamondiae* (Lamond 1062); 146, *A. dsharfi* (Grigorjew 46); 147-148, *A. wendelboi* (Hedge & Wendelbo 3404); 149-150, *A. aegacanthoides* (Lobbichler s.n.).

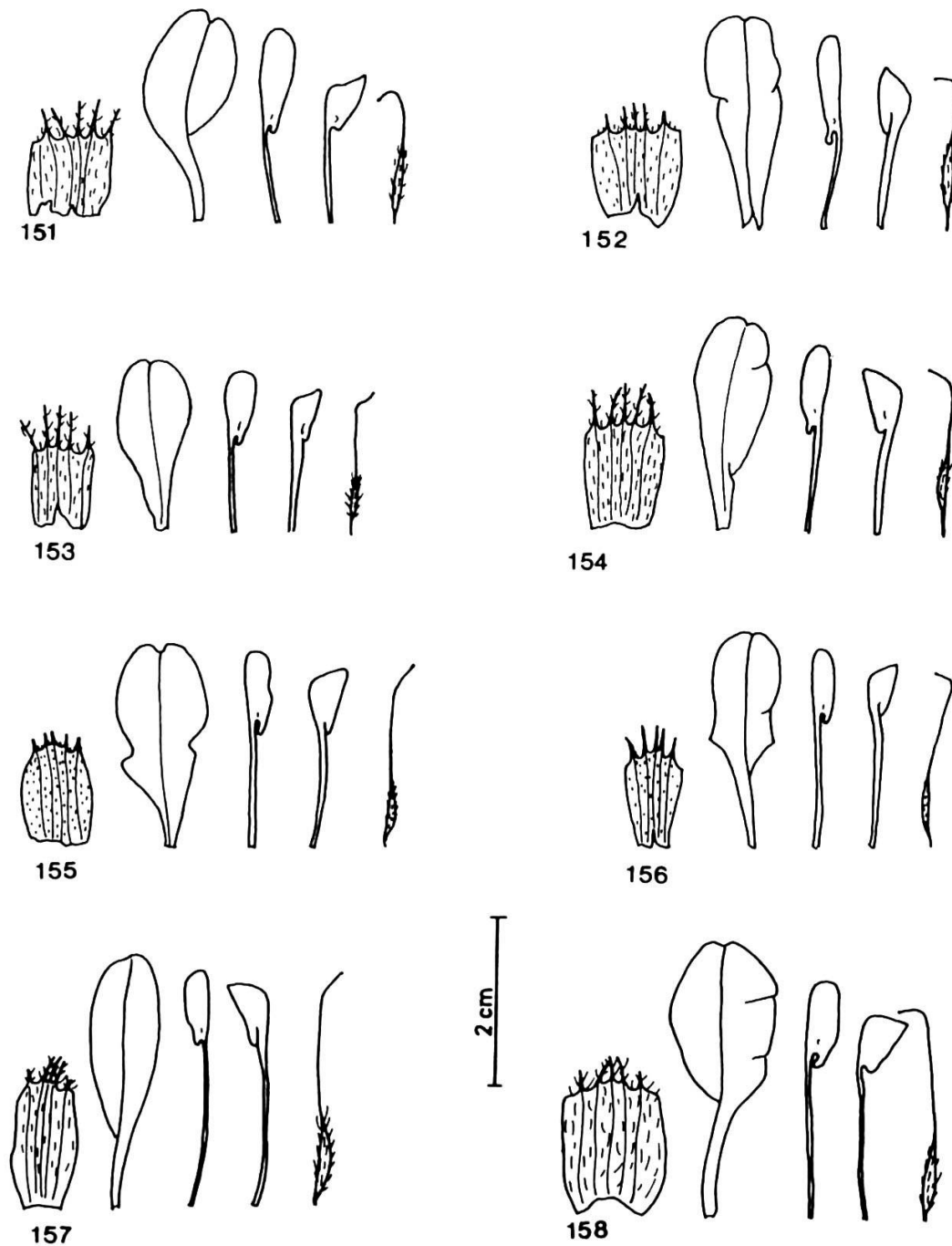


Fig. 151-158. — Blütenanalysen

151-152, *A. zanskarensis* (151, Zanskar, Thomson; 152, Webster & Nasir s.n.); 153-154, *A. bicuspis* (153, Winterbottom 686; 154, Schmid 1812); 155-156, *A. grahamianus* (155, Humme s.n.); 156, Thomson s.n., sub nomine *A. multiceps* Wall.); 157-158, *A. psilocentros* (157, Fleming 43; 158, Rech. 29751).

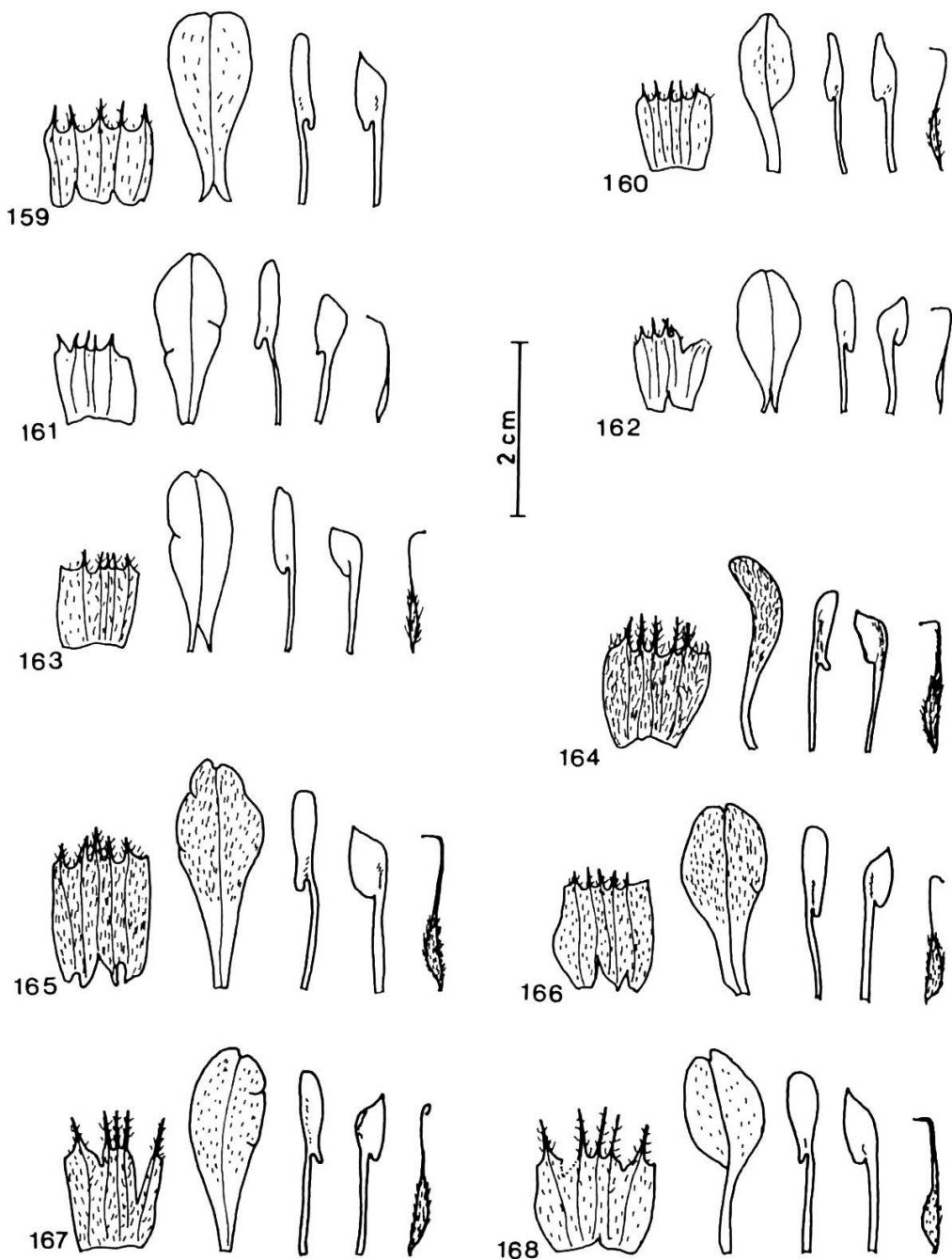


Fig. 159-168. — Blütenanalysen

159, *A. aloisii* (Podlech 16443); 160, *A. antoninae* (Ovc. & Aphan. 1347); 161-162, *A. confertissimus* (161, Breckle A 3453; 162, Bowes Lyon 685); 163, *A. parkeri* (Rech. 30844); 164, *A. endytanthus* (Hedge & Wendelbo 4189); 165, *A. roschanicus* (Ladigina 4042); 166-168, *A. lasiosemius* (166, Rech. 18270; 167, Roemer 52; 168, Rech. 31415).

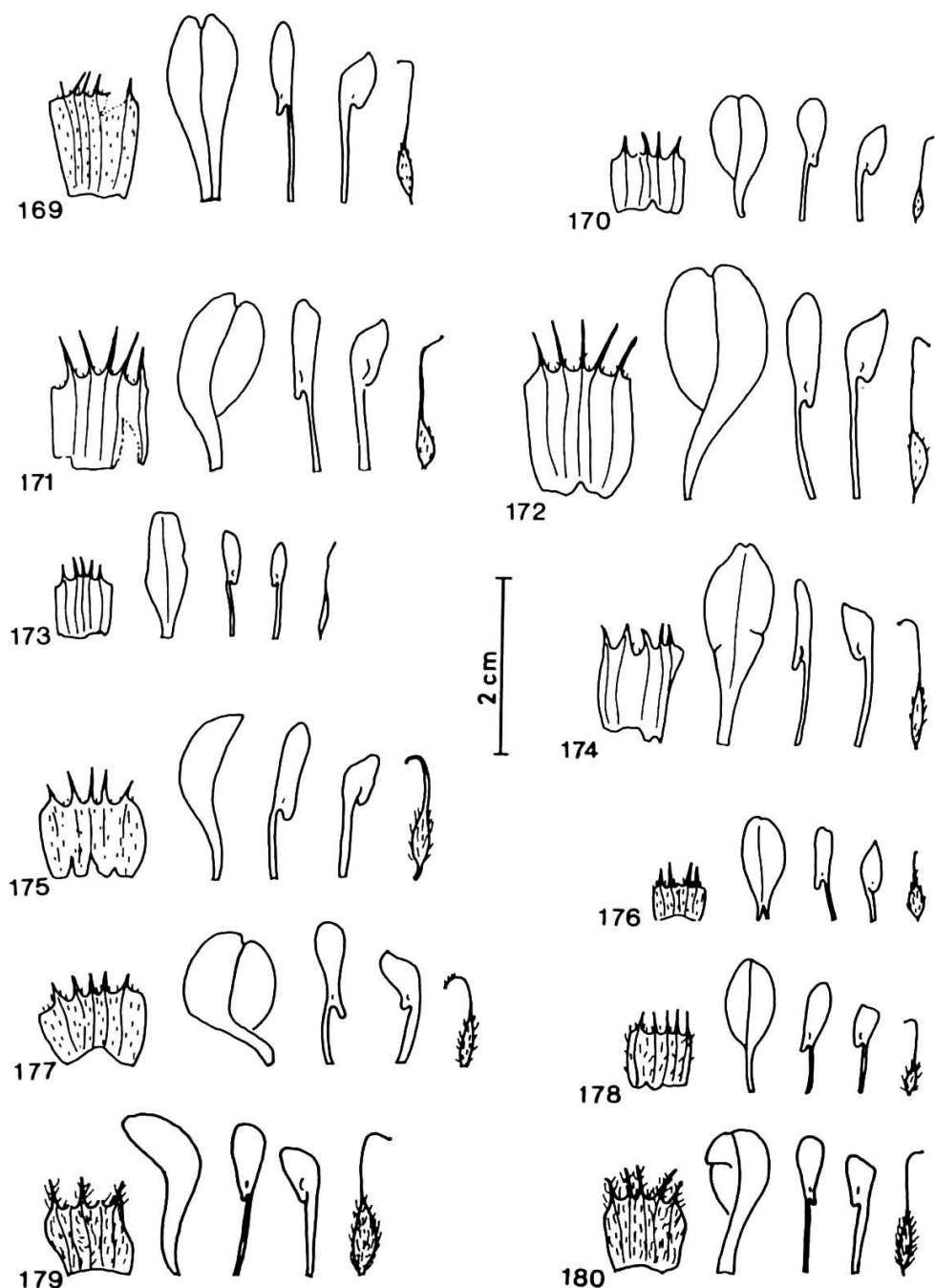


Fig. 169-180. — Blütenanalysen

169, *A. gregarius* (Podl. 12336); 170, *A. phalacrophyton* (Rech. 31416); 171-172, *A. raphiodontus* (171, Rech. 18112; 172, Rech. 17818); 173, *A. freitagii* (Freitag 3587); 174, *A. bornmuelleranus* (Varivtzewa s.n.); 175, *A. altimurensis* (Rech. 31888); 176, *A. antheliophorus* (Rech. 37288 a); 177, *A. caroli-henrici* (Rech. 18890); 178, *A. franziskae* (Rech. 17588); 179-180, *A. infestus* (179, Rech. 17429; 180, Rech. 17719).

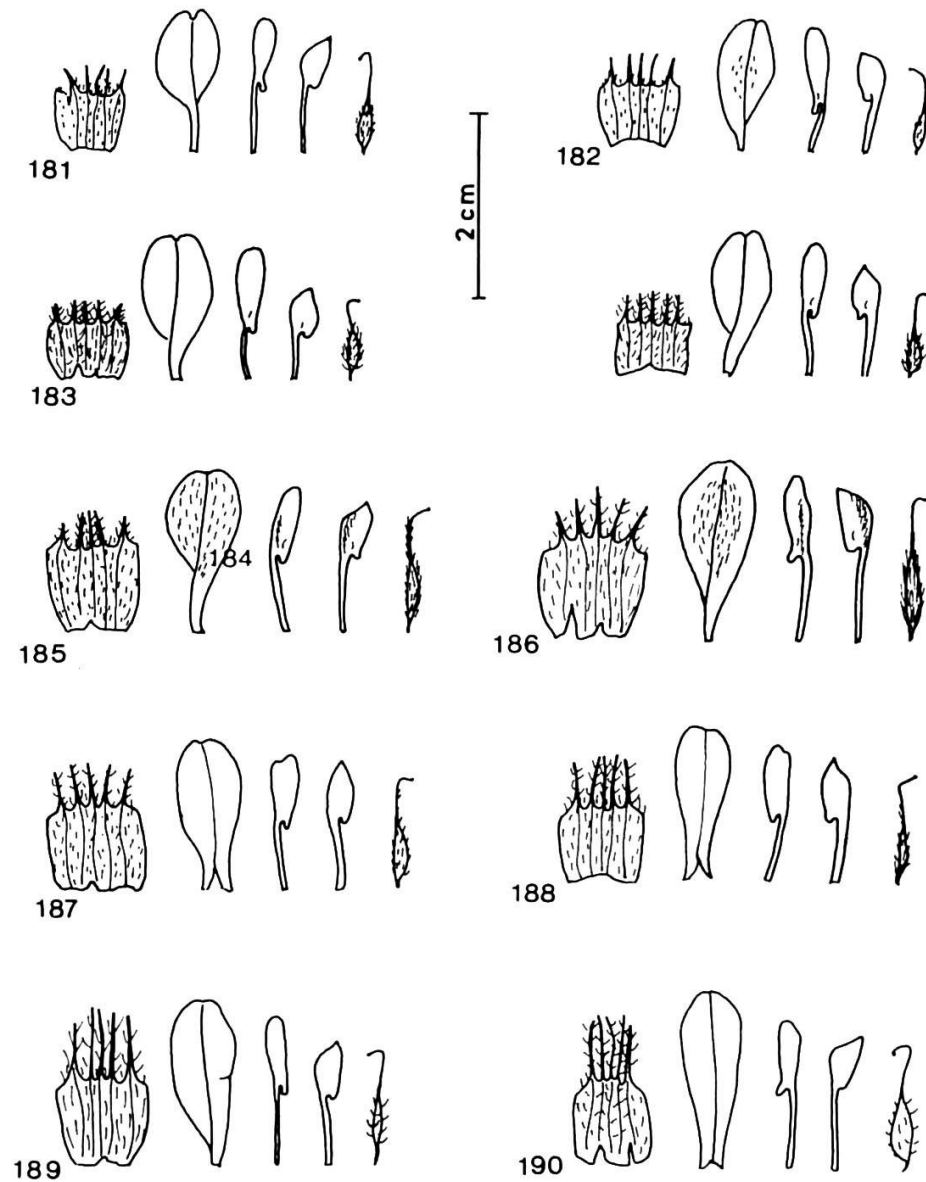


Fig. 181-190. — Blütenanalysen

181, *A. nigrocalyx* (Pojarkova & Varivtseva 552/308); 182, *A. parwanicus* (Wendelbo 3009); 183-184, *A. molestus* (183, Podl. 19791; 184, Gilli 1598); 185-186, *A. nigrivestitus* (185, Wendelbo 5243; 186, Podl. 11126); 187-188, *A. melanochiton* (187, Rech. 37073; 188, Breckle A 584); 189-190, *A. podlechii* (189, Podl. 12211; 190, Breckle A 2207).

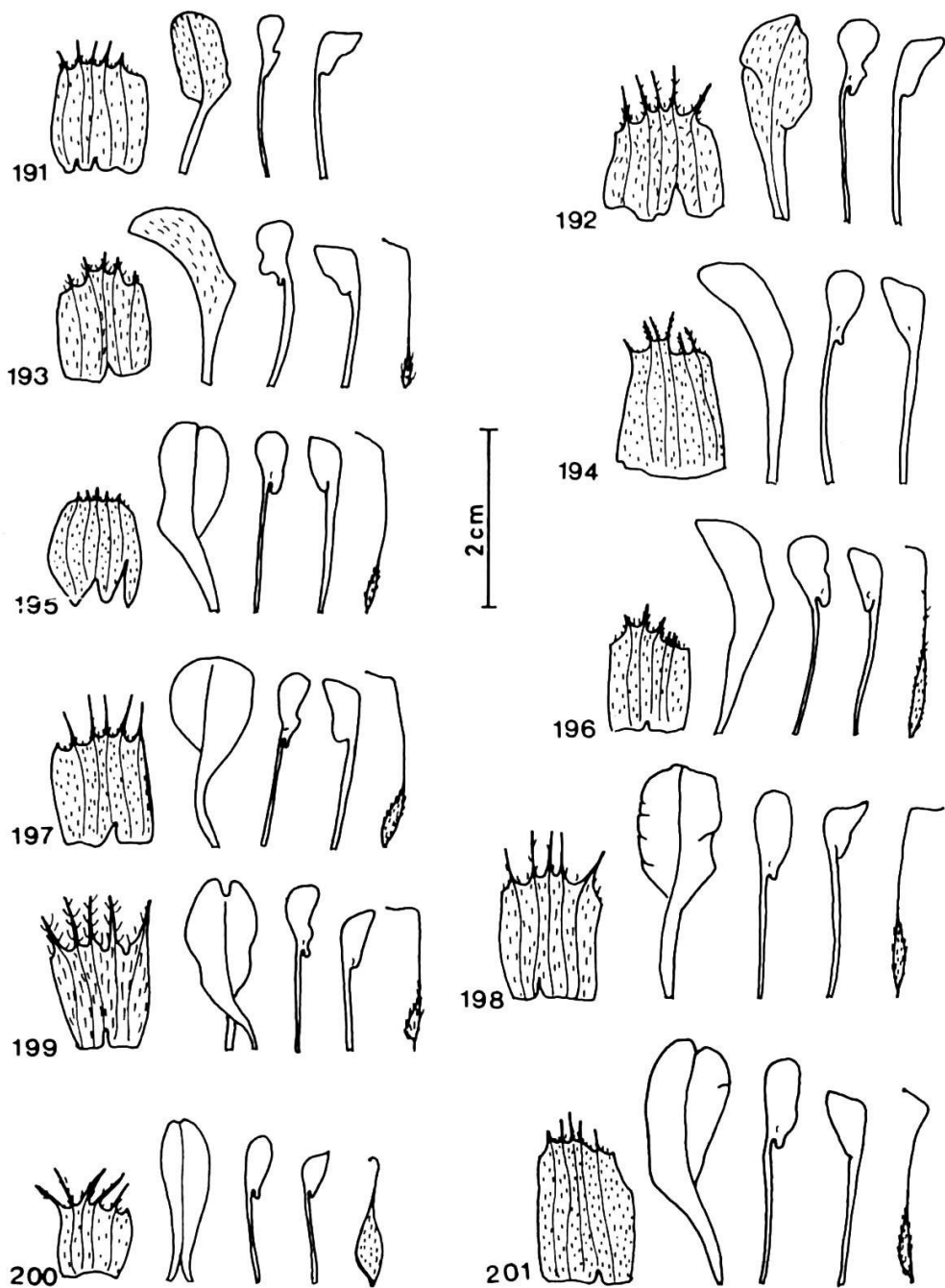


Fig. 191-201. — Blütenanalysen

191-192, *A. leptus* (191, Rech. 31260; 192, Podl. 10210); 193, *A. sharestanicus* (Rech. 36742);
194, *A. wendelboi* (Hedge & Wendelbo 3404); 195-196, *A. psilacanthus* (195, Podl. 10187;
196, Kasy, s.n.); 197, *A. lamondiae* (Rech. 29051); 198, *A. dsharfi* (Grigorjew 46); 199,
A. hostilis (Rech. 29366); 200, *A. brecklei* (Podl. 16387); 201, *A. baghlanensis* (Podl. 11021).

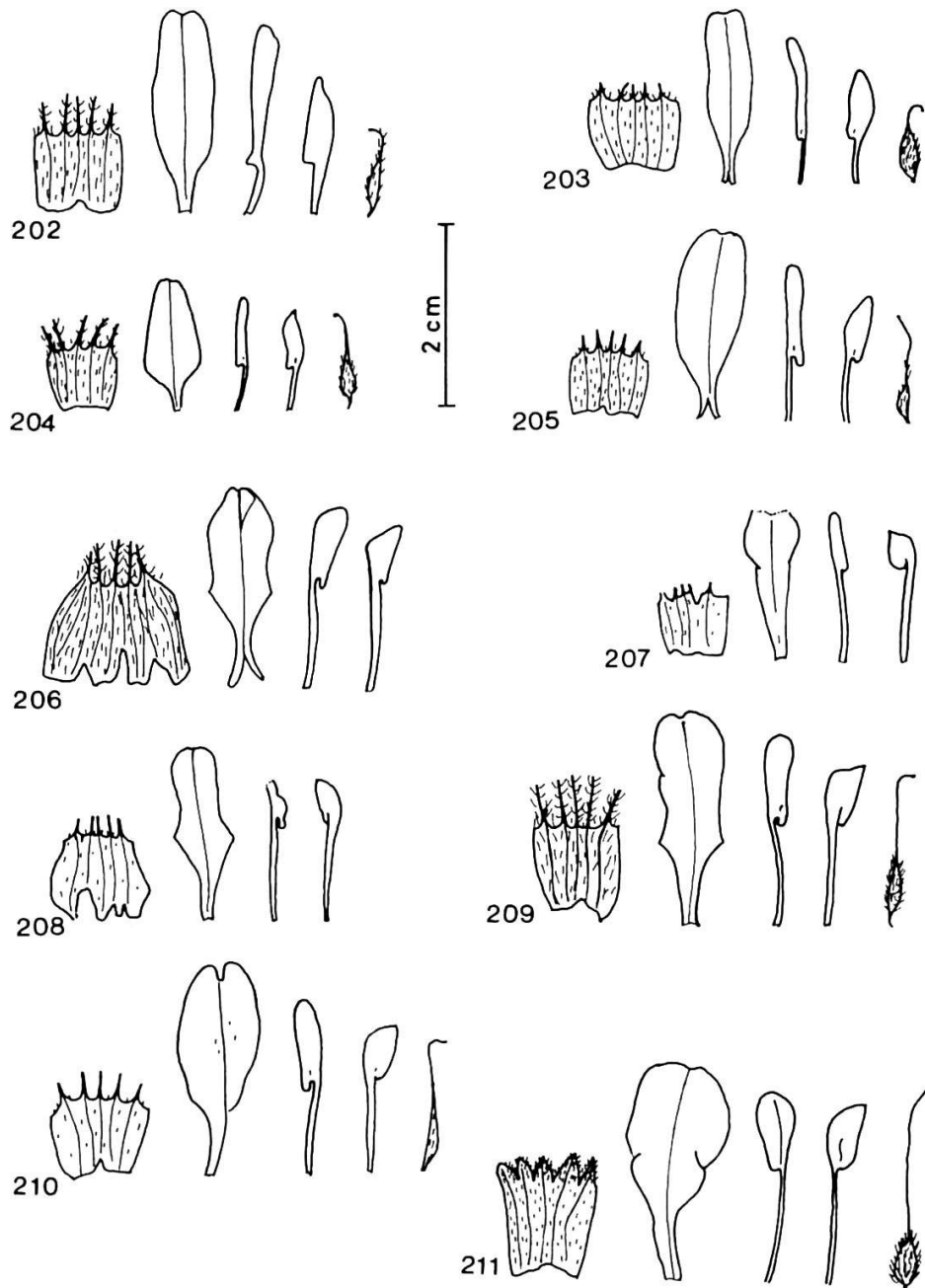


Fig. 202-211. — Blütenanalysen

202-203, *A. leiosemius* (202, Rech. 36264; 203, Popov & Vved. s.n.); 204-205, *A. ajfreidii* (204, Breckle A 2106; 205, Freitag 1480); 206, *A. strigosostipulatus* (Podl. 15928); 207, *A. hadroacanthus* (Gilli 1560); 208-209, *A. pseudopsilacanthus* (208, Aitch. 47, 241; 209, Rech. 35611); 210, *A. discernendus* (Aitch. 451/485); 211, *A. aegacanthoides* (Lobbichler s.n.).

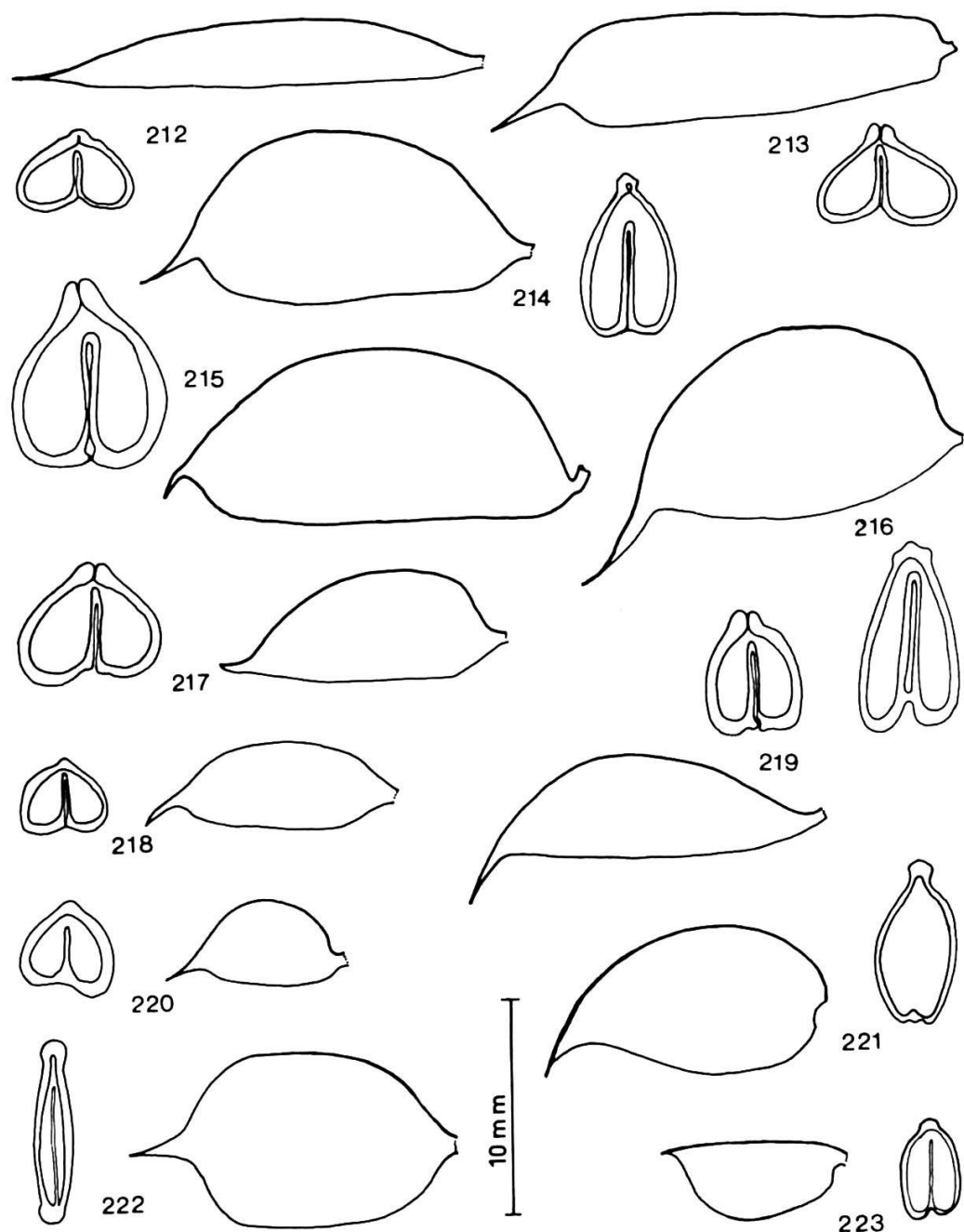


Fig. 212-223. — Frucht-Umrisse und -Querschnitte

212, *A. zanskarensis* (Webster & Nasir s.n.); 213, *A. grahamianus* (Lamond 1757); 214, *A. psilocentros* (Rech. 27430); 215, *A. raphiodontus* (Rech. 17598); 216, *A. caroli-henrici* (Rech. 18890); 217, *A. strigosostipulatus* (Podlech 15928); 218, *A. infestus* (Köie 3223); 219, *A. molestus* (Freitag 5677); 220, *A. franziskae* (Rech. 17588); 221, *A. ajfreidii* (Rech. 31894); 222, *A. leiosemius* (Wendelbo 4225); 223, *A. lycooides* (Alexeenko 753).

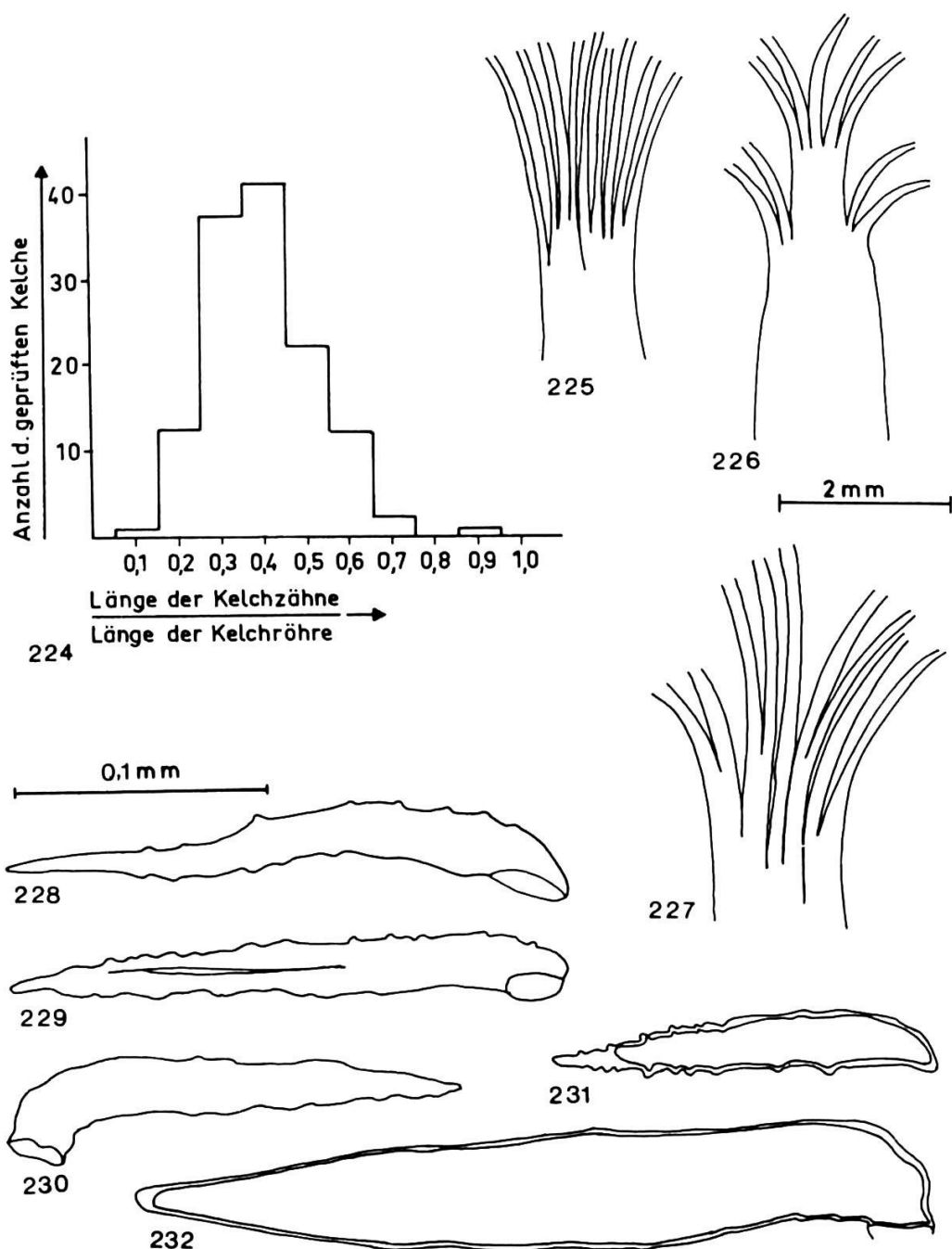


Fig. 224. — Verhältnis von Kelchröhrenlänge zu Kelchzahnlänge bei *A. lasiosemius*.

Fig. 225-227. — Typen von Staubfadenröhren

225, *A. hemsleyi* (Lace s.n.): Staubfadenröhre mit unregelmässigem Ende; 226, *A. lasiosemius* (Rechinger 35438): Staubfadenröhre mit besonders ausgeprägt zweistufigem Ende; 227, *A. melanochiton* (Breckle A 584): 3. und 4. sowie 6. und 7. Filament sind untereinander höher verwachsen als mit den benachbarten Filamenten.

Fig. 228-230. — Haare der Sektion *Aegacantha*

228-229, *A. lasiosemius*; 230, *A. psilacanthus*.

Fig. 231-232. — Haare der Sektion *Acanthophace*

231, *A. lycioides*; 232, *A. stenostegius*.

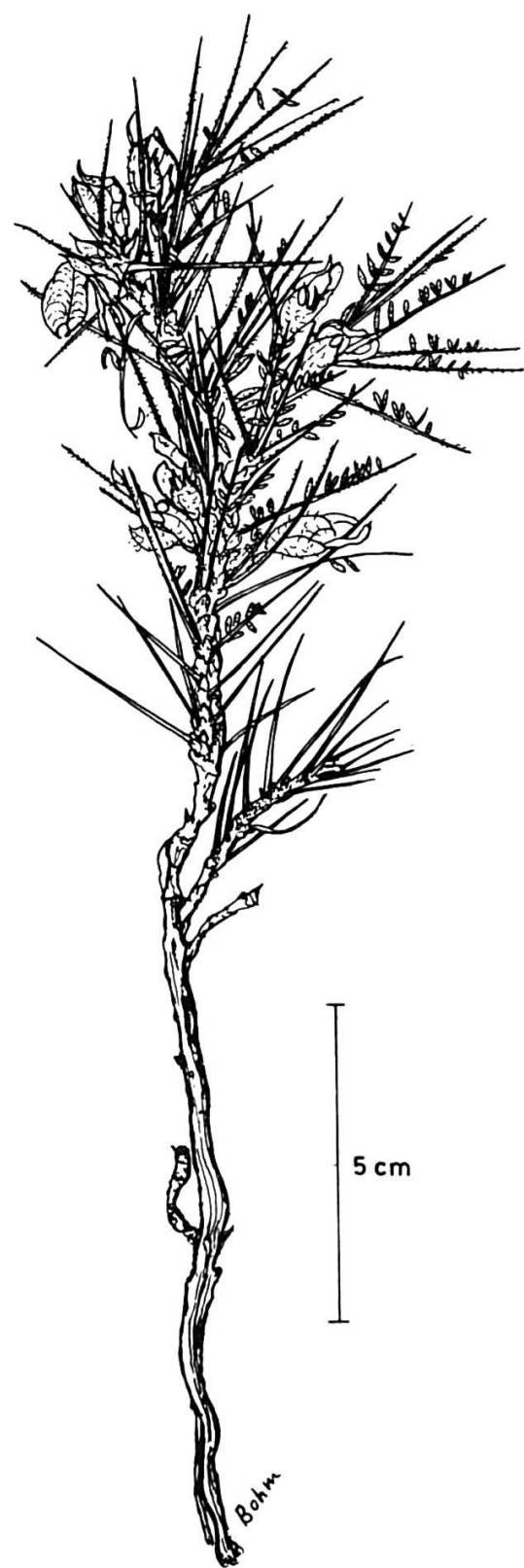


Fig. 233. — *A. aloisii* Deml (Holotypus; Podlech 16443).



Fig. 234. — *A. altimurensis* Deml (Holotypus; Rechinger 31888).



Fig. 235. — *A. antheliophorus* Deml (Holotype; Rechinger 37288 a).



Fig. 236. — *A. baghlanensis* Deml (Holotypus; Podlech 11021).

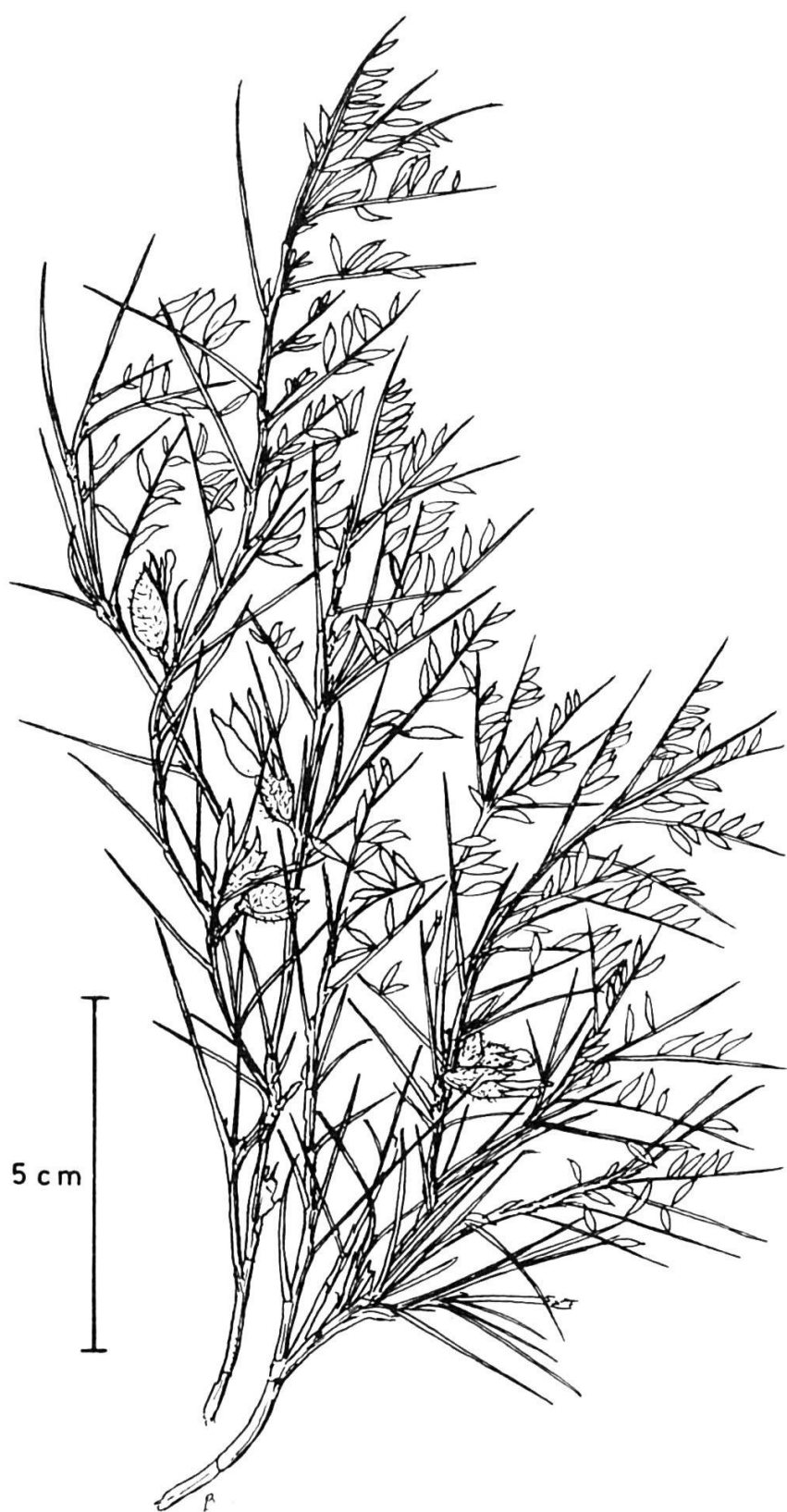


Fig. 237. — *A. brecklei* Deml (Breckle A 3515).



Fig. 238. — *A. caroli-henrici* Deml (Holotypus; Rechinger 18890).



Fig. 239. — *A. franziskae* Deml (Holotypus; Rechinger 17588).

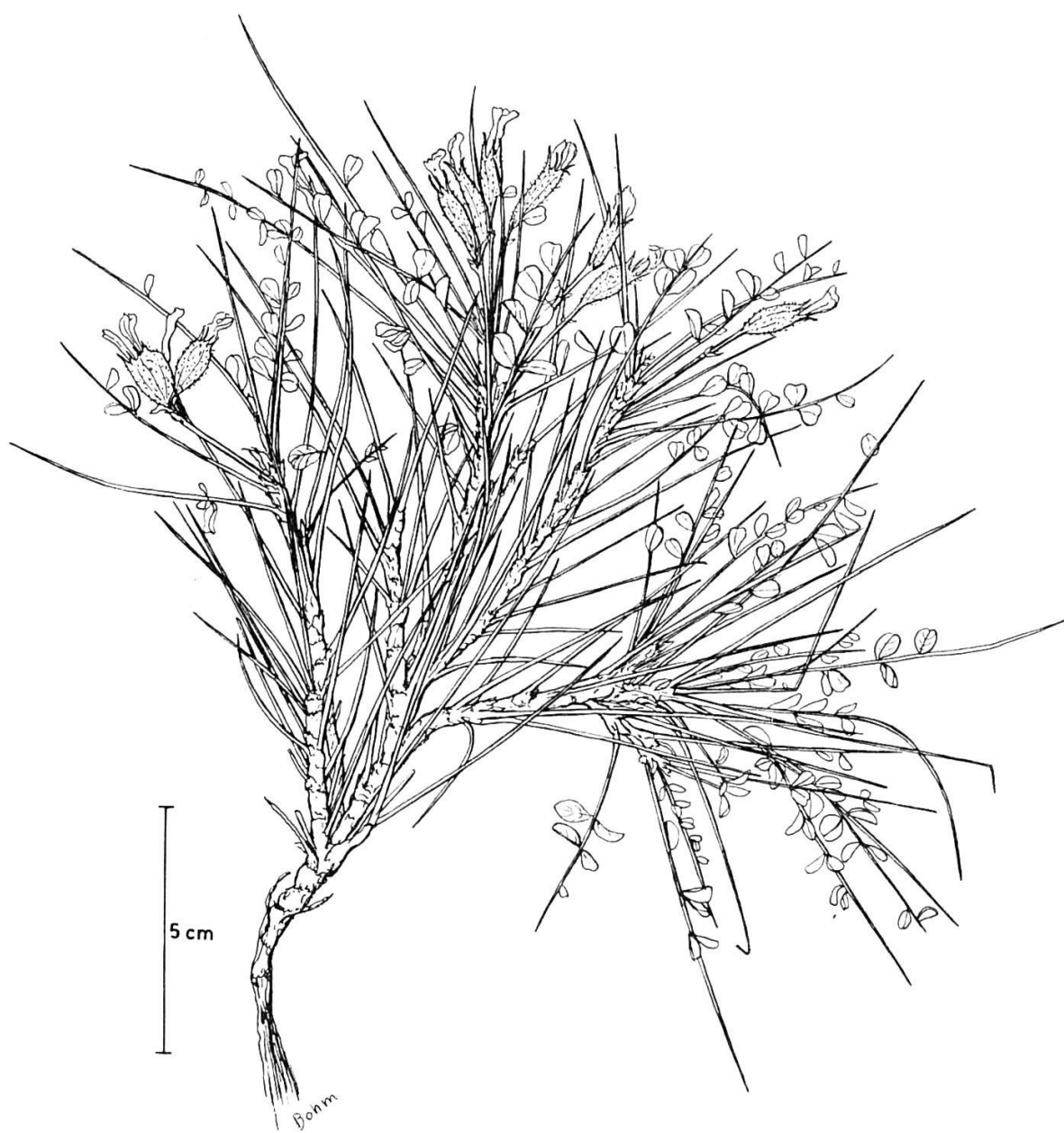


Fig. 240. — *A. lamondiae* Deml (Holotypus; Lamond 1062).

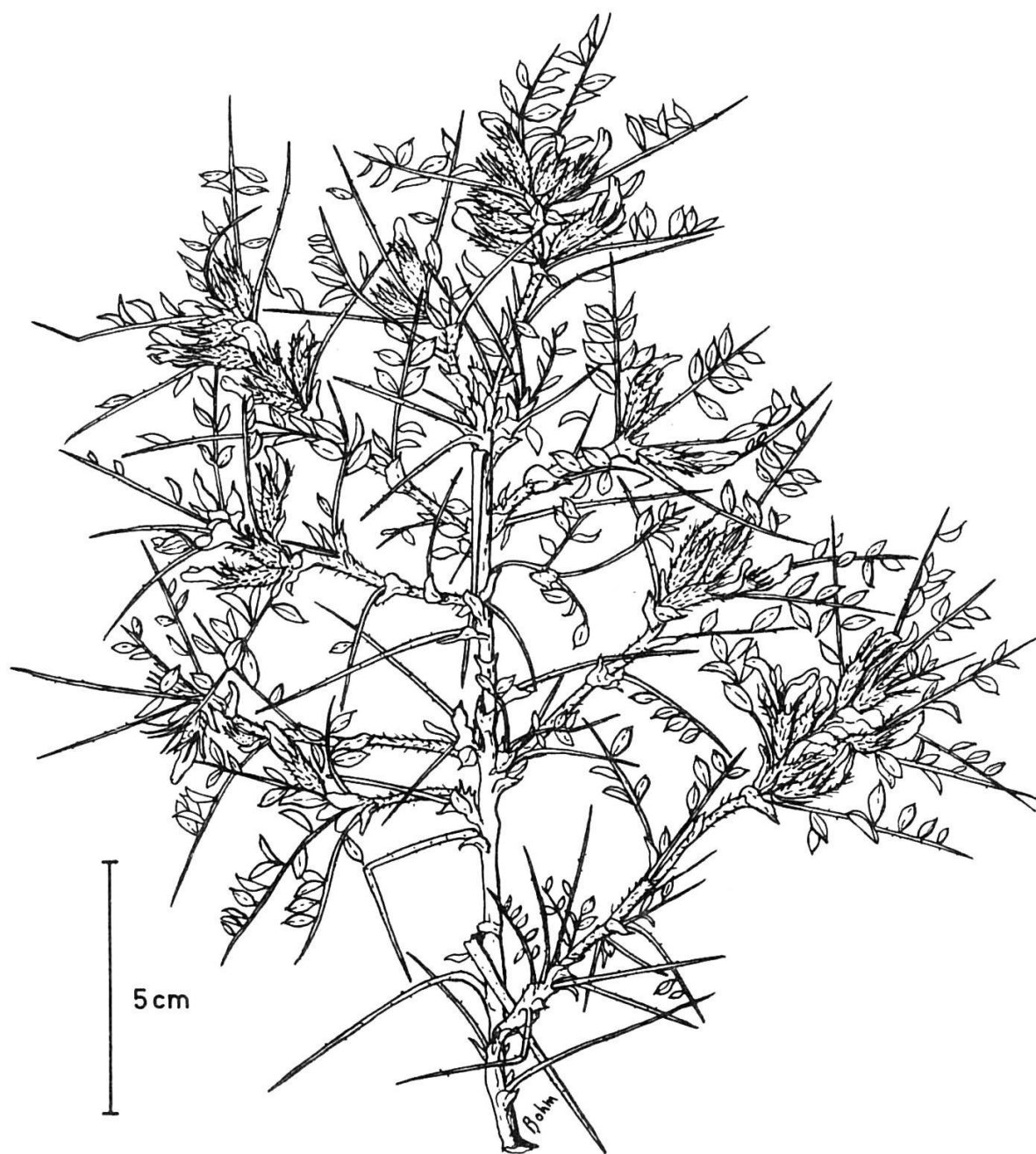


Fig. 241. — *A. nigrivestitus* Podl. & Deml (Podlech 11126).

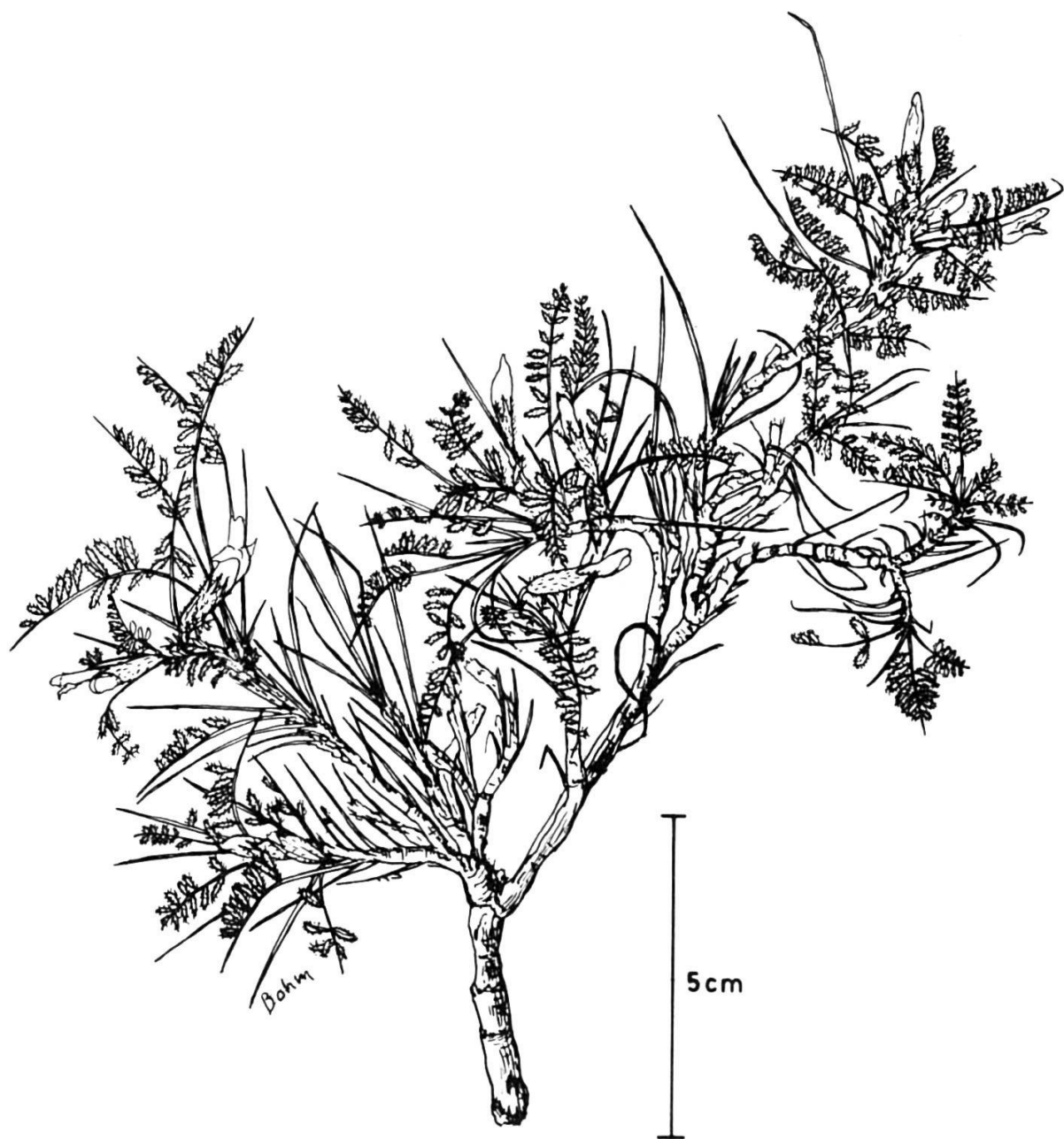


Fig. 242. — *A. parkeri* Deml (Holotypus; Rechinger 30844).

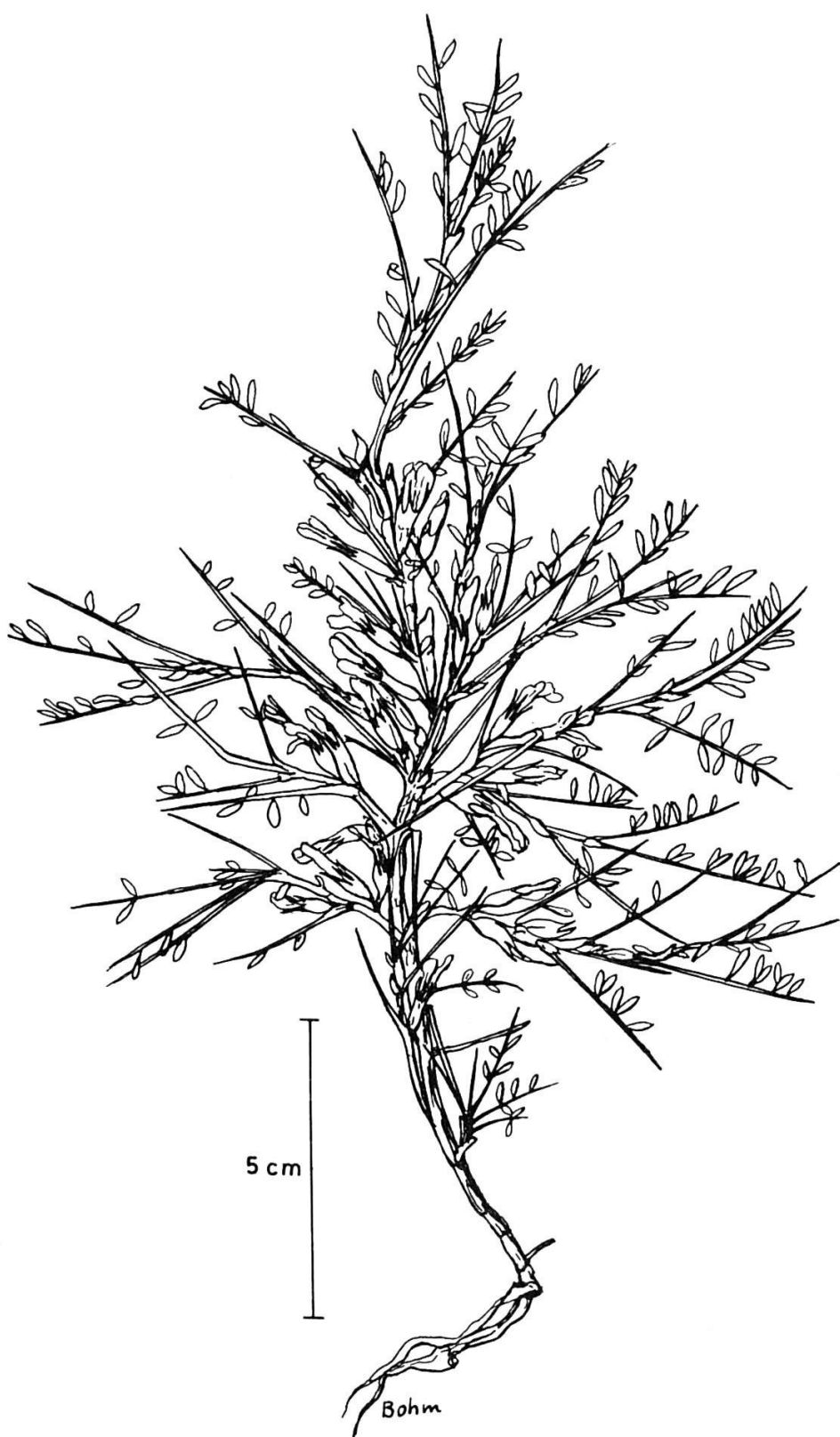


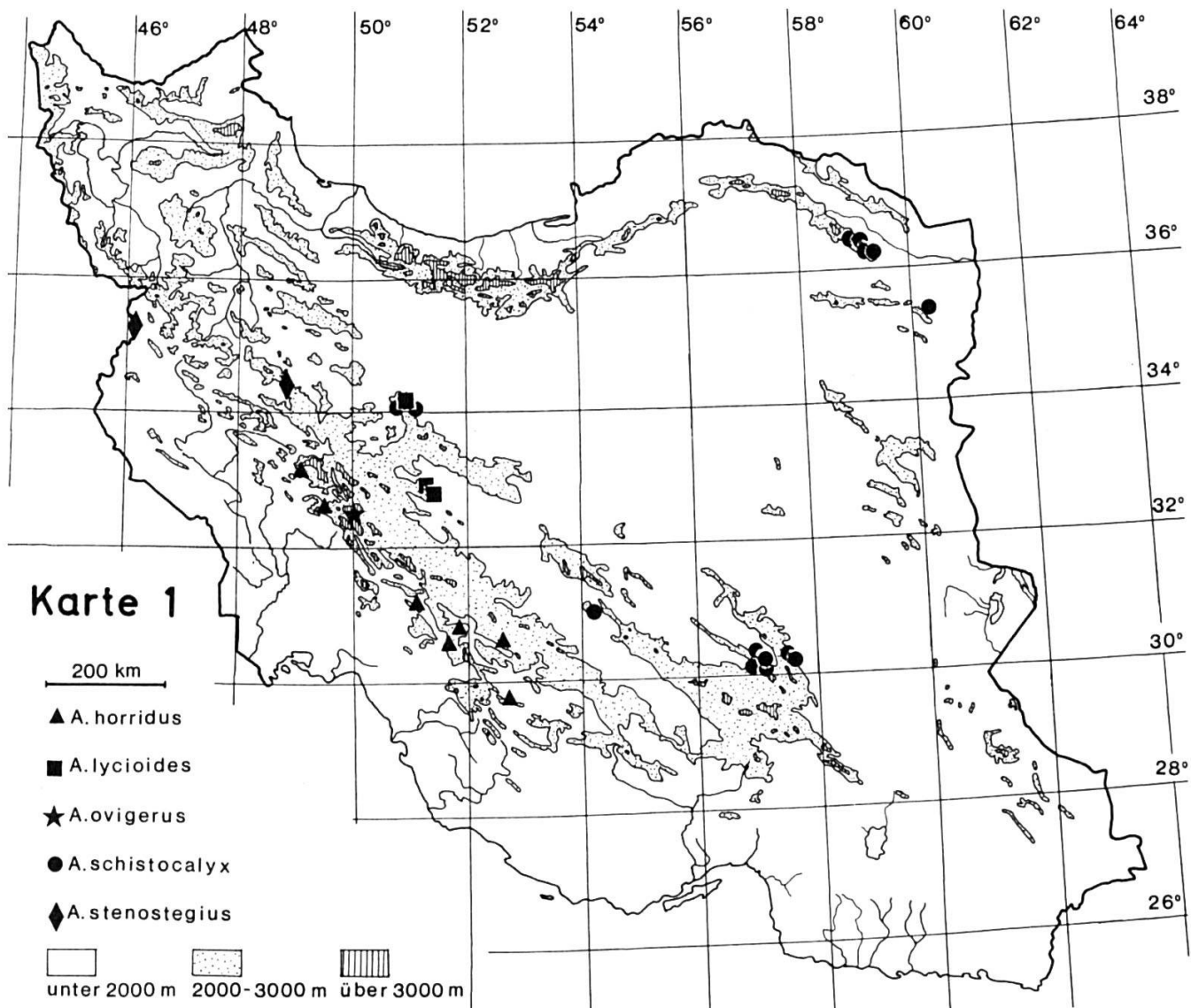
Fig. 243. — *A. phalacrophyton* Deml (Lamond 2181).

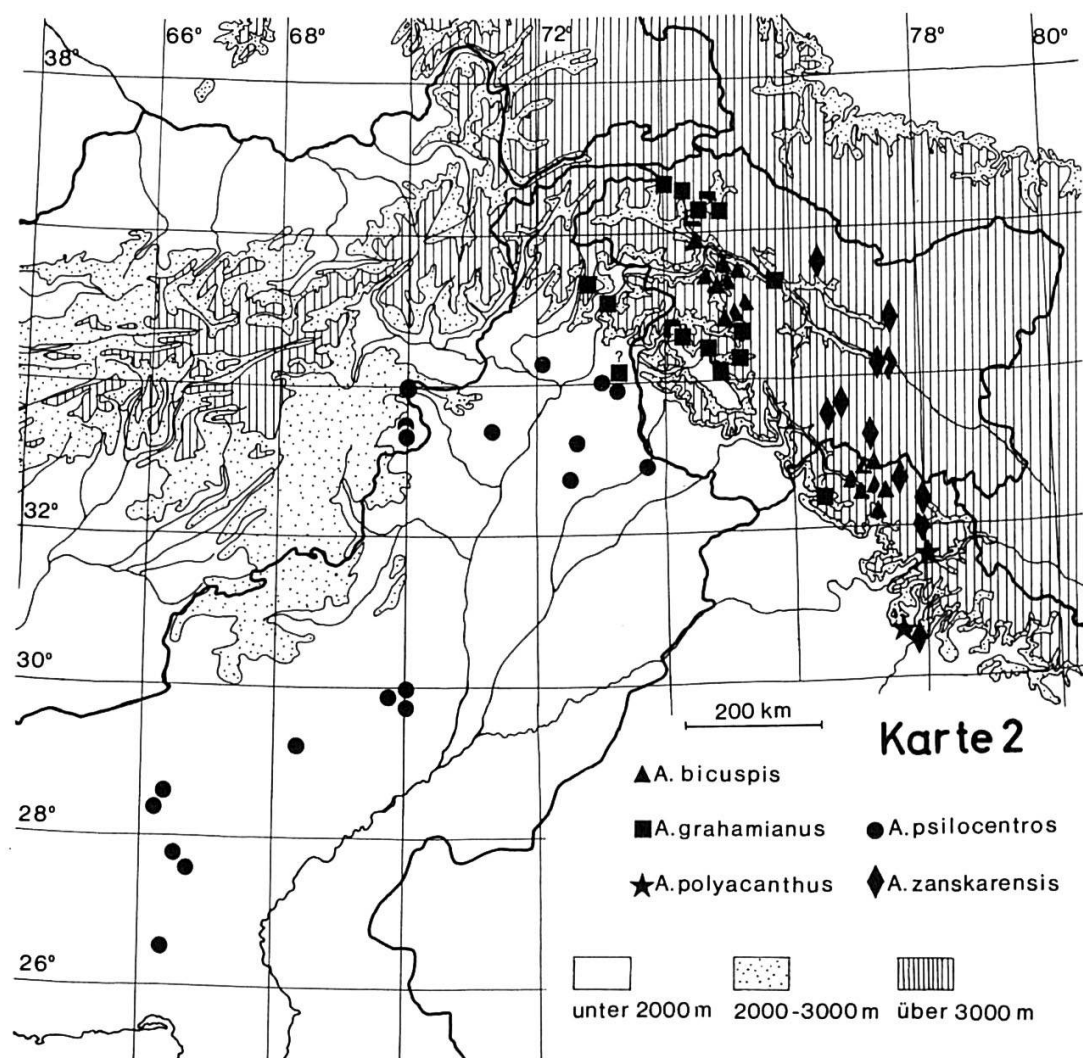


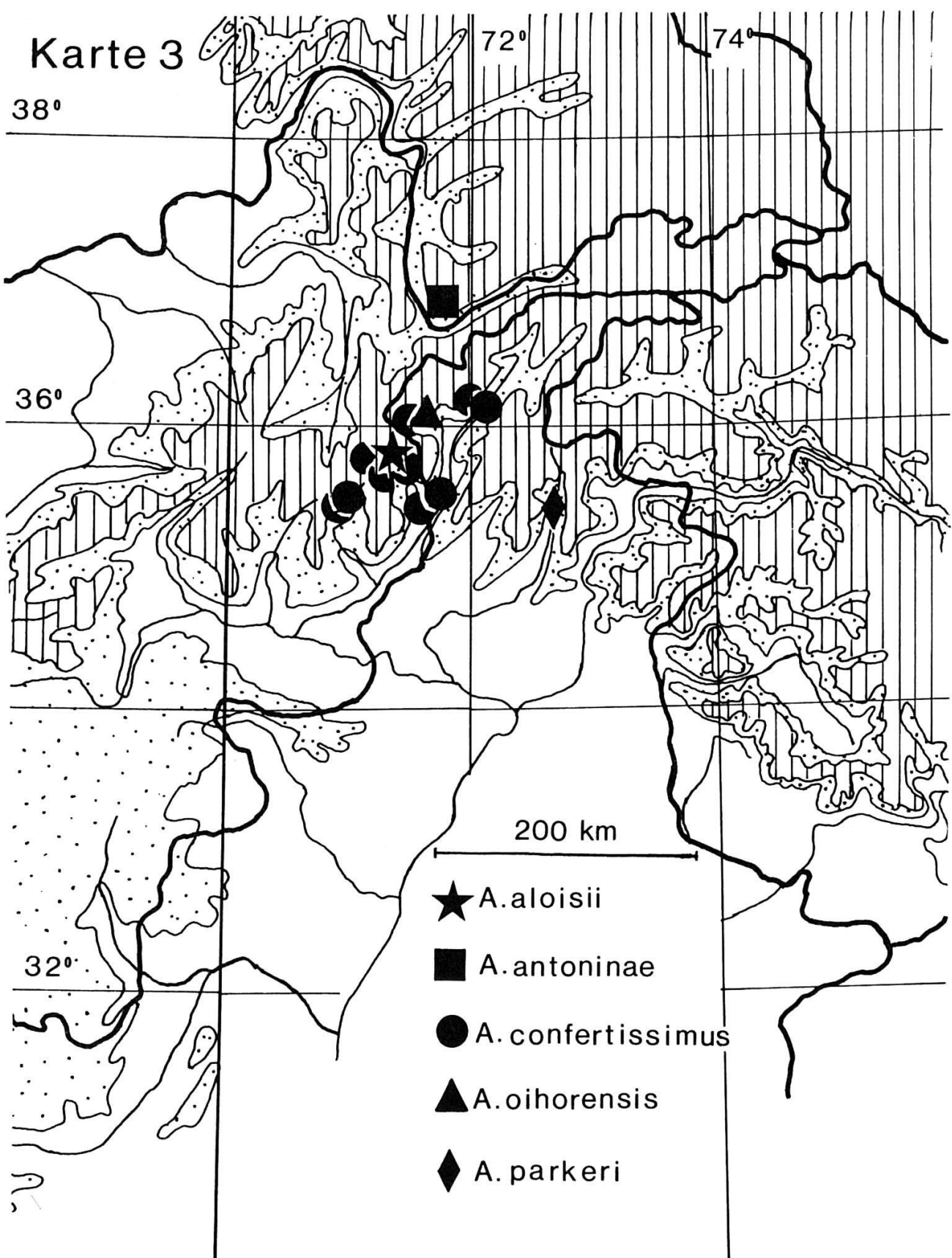
Fig. 244. — *A. podlechii* Deml (Holotypus; Podlech 12212).

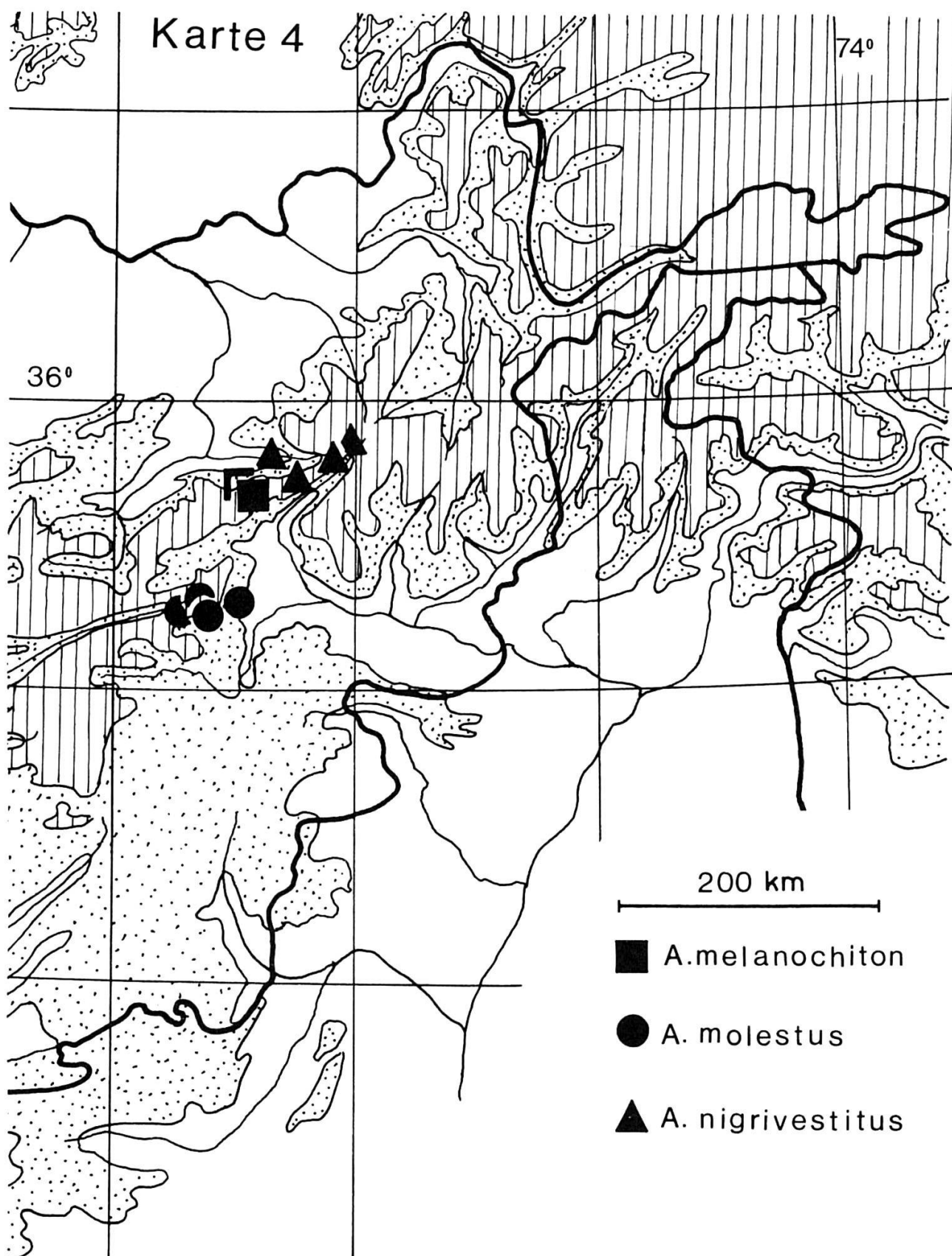


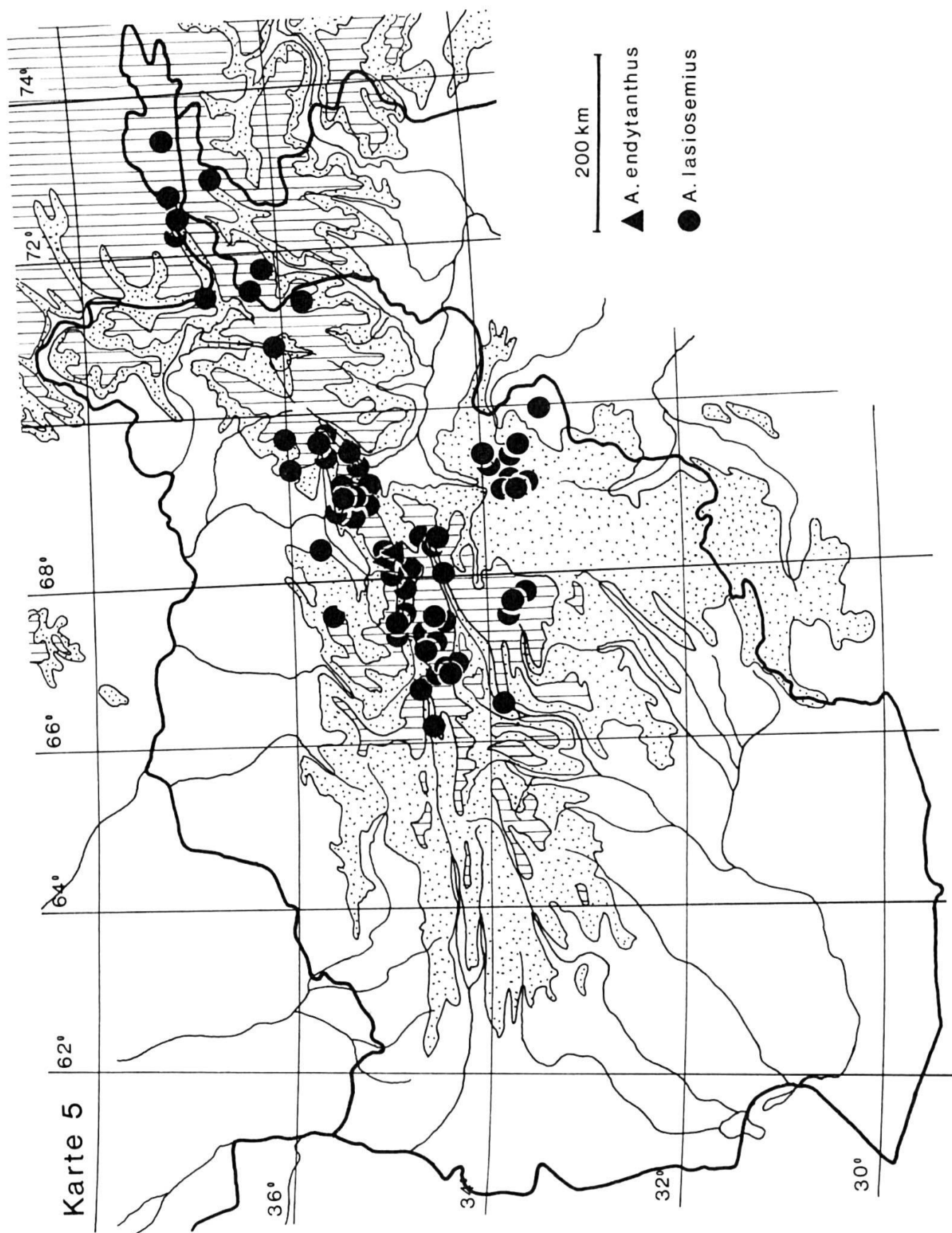
Fig. 245. — *A. wendelboi* Deml (Isotypus; Hedge & Wendelbo, Nr. W. 3404).

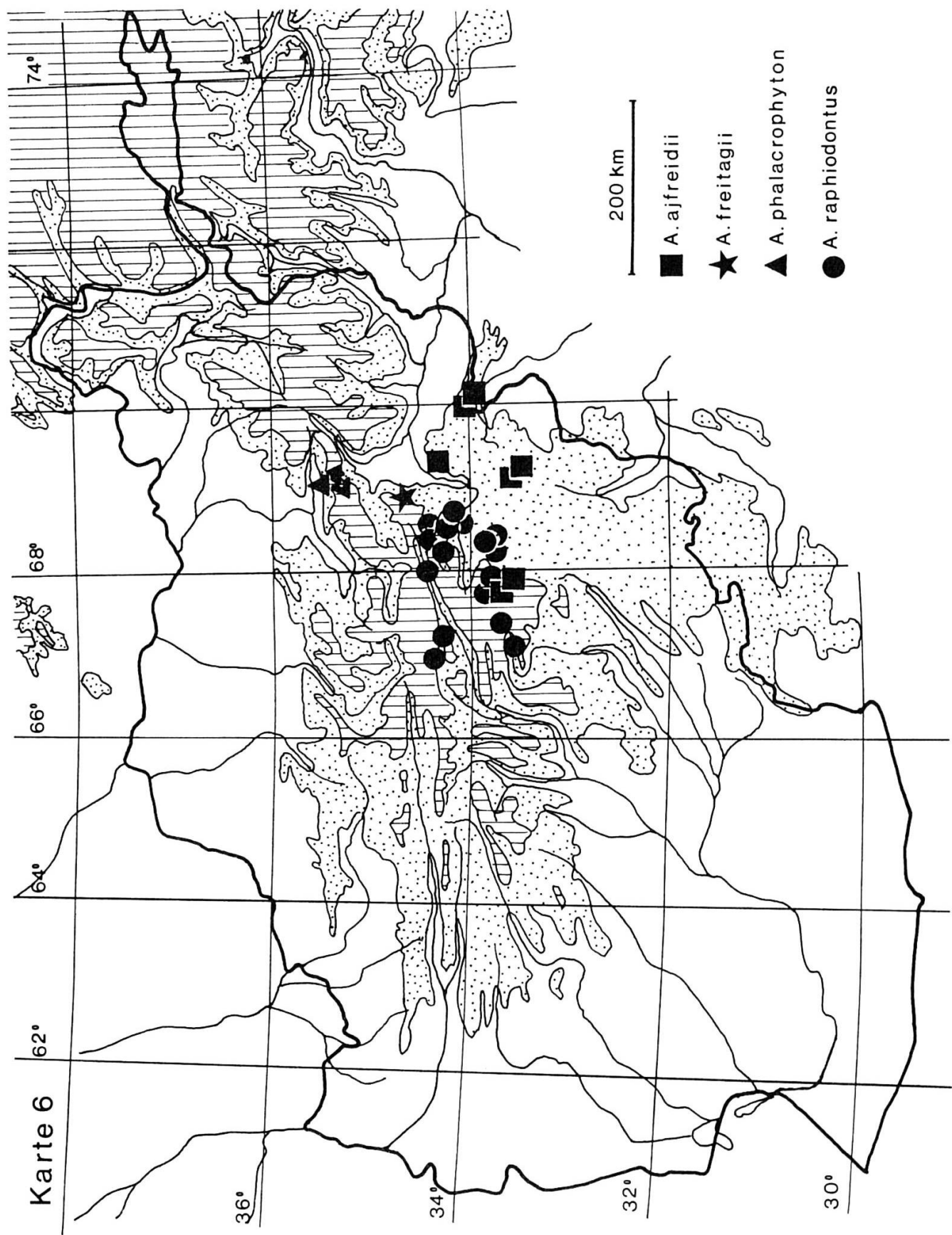


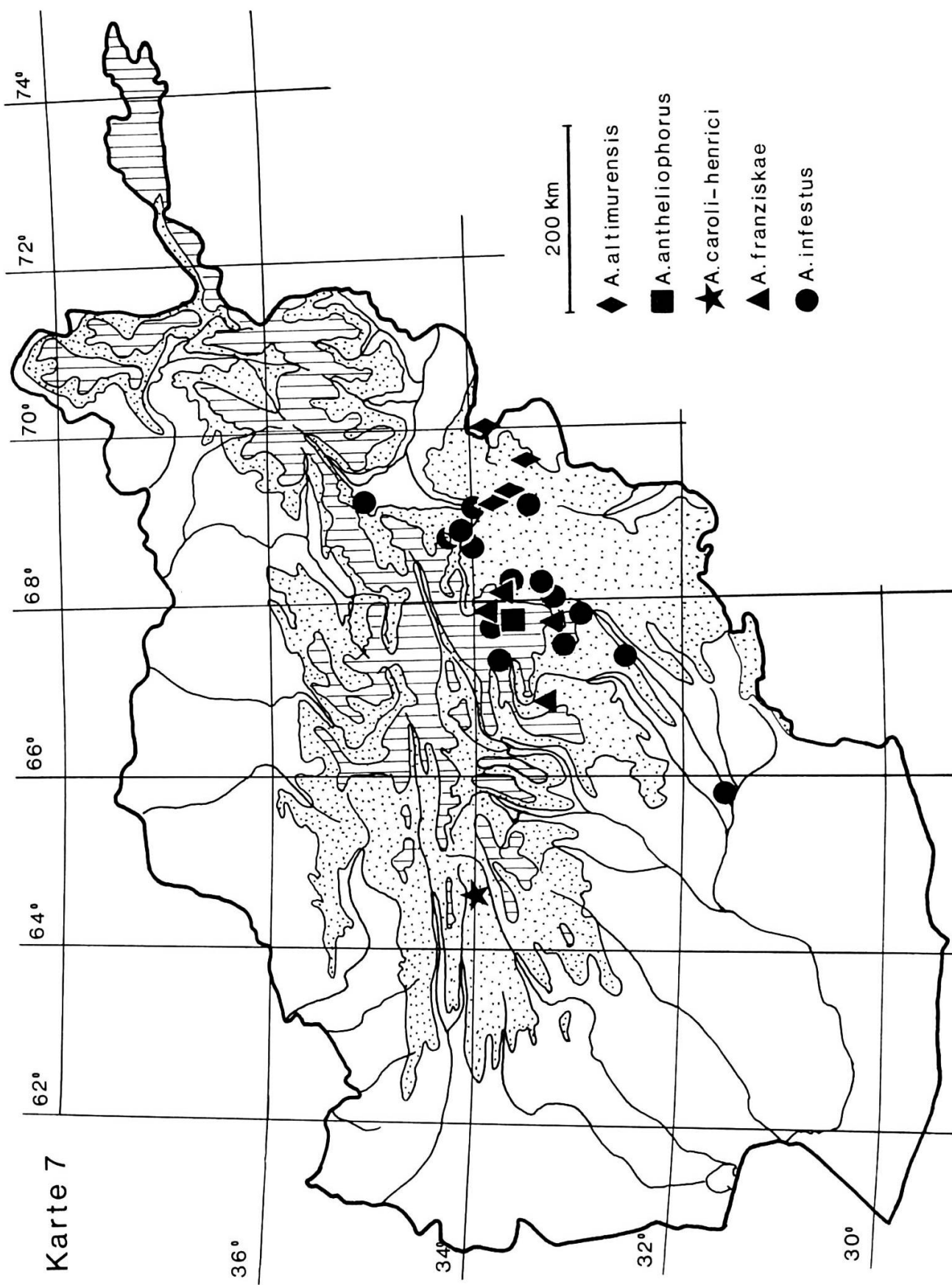




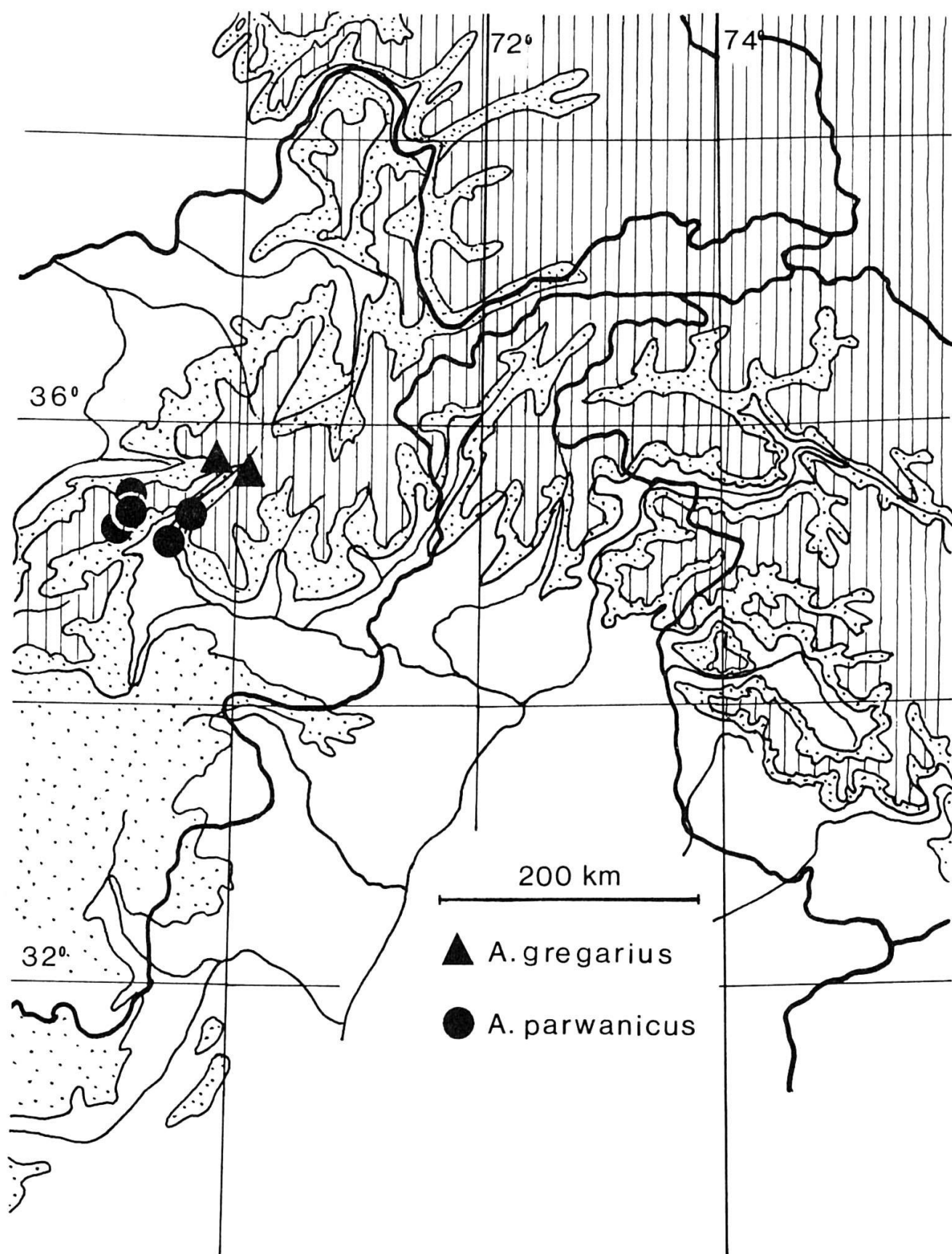








Karte 8



Karte 9

